









UNIVERSITY OF NAPLES FEDERICO II 1224 A.D.

Propulsione Aerospaziale

T. Astarita

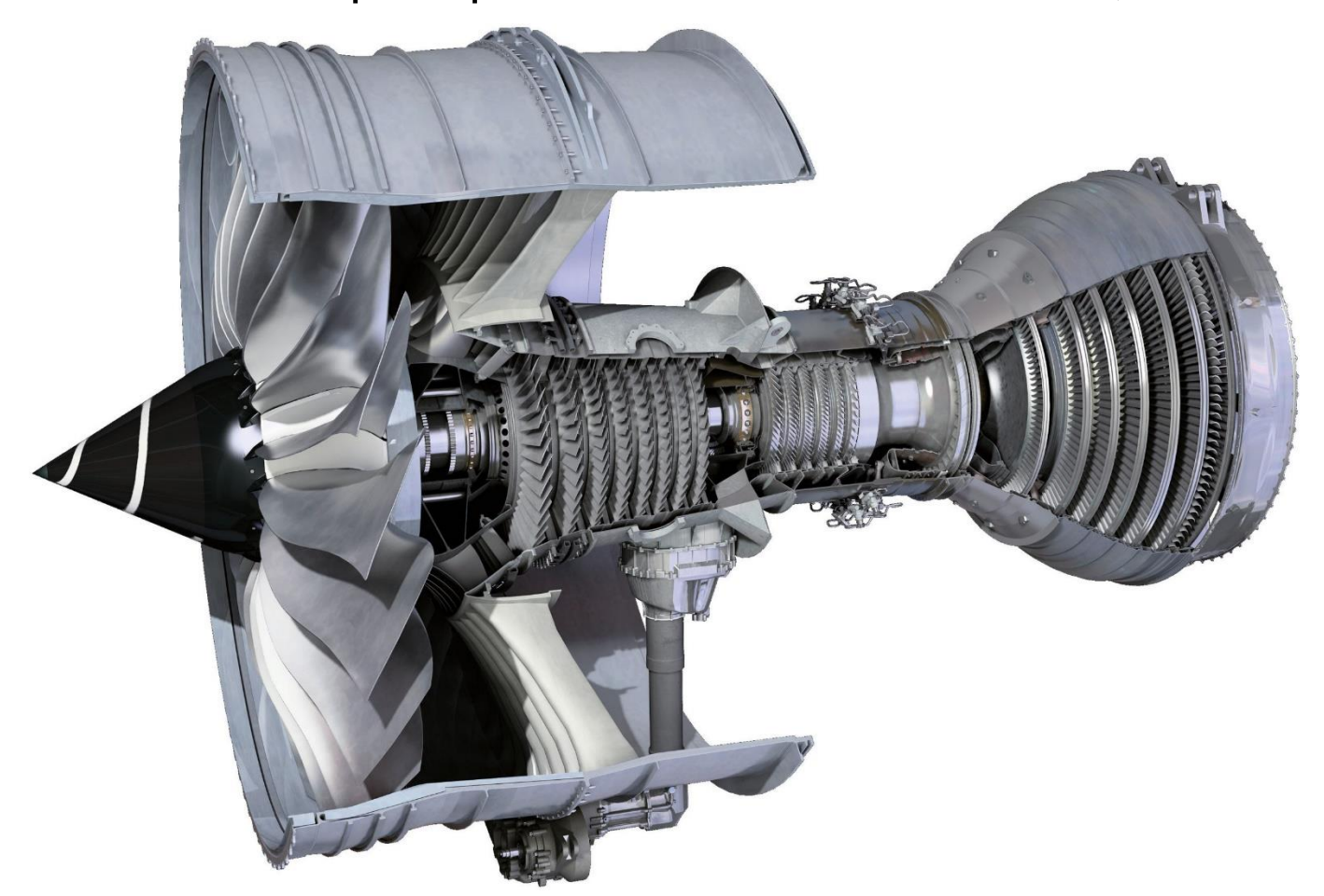
<u>astarita@unina.it</u> <u>www.docenti.unina.it</u>

Versione del 29.11.2019

Turbine

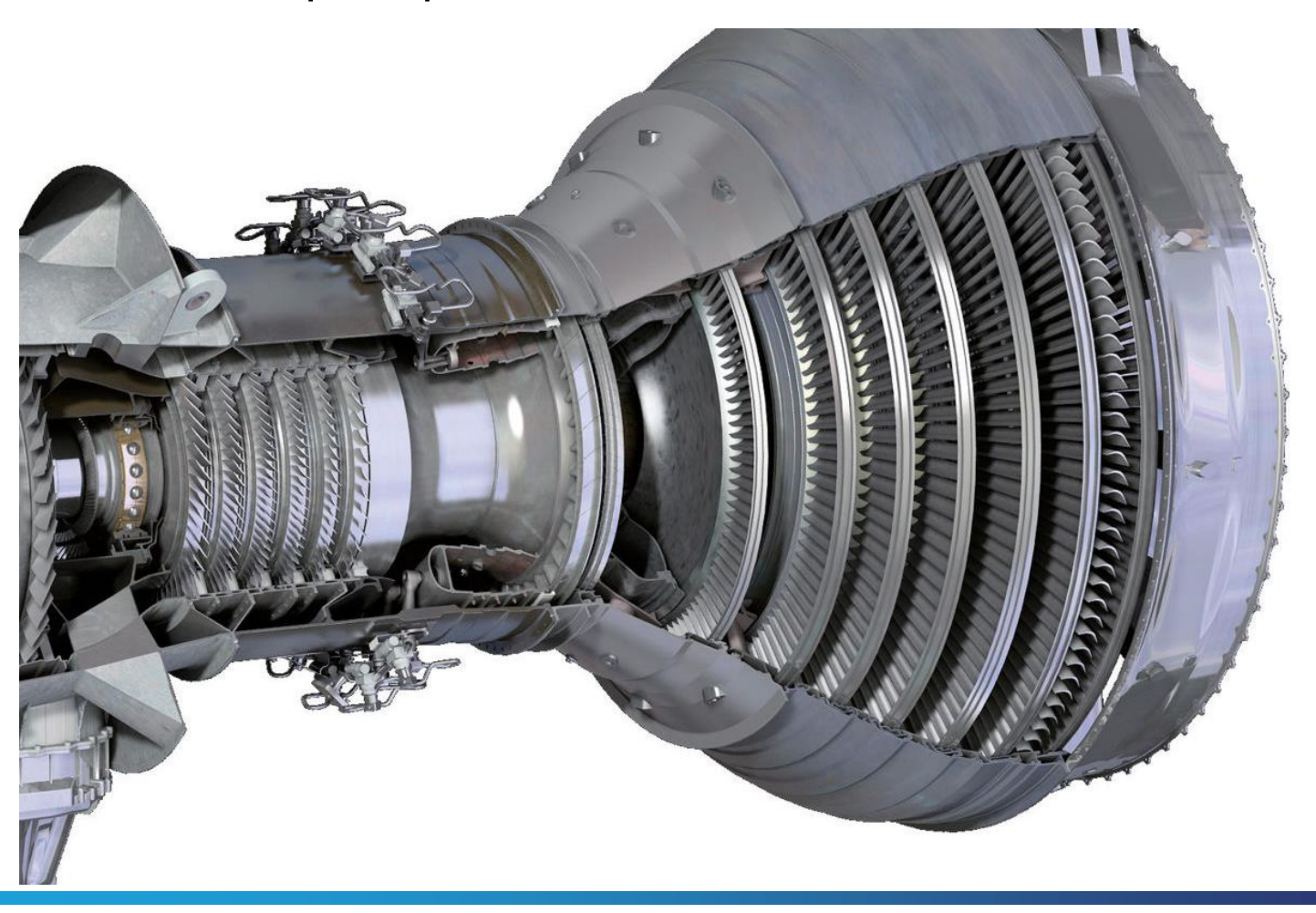
Le turbomacchine sono il cuore dei motori a getto esse possono essere di due tipi:

• assiali se il moto è principalmente in direzione assiale;



Le **turbomacchine** sono il cuore dei motori a getto esse possono essere di due tipi:

assiali se il moto è principalmente in direzione assiale;





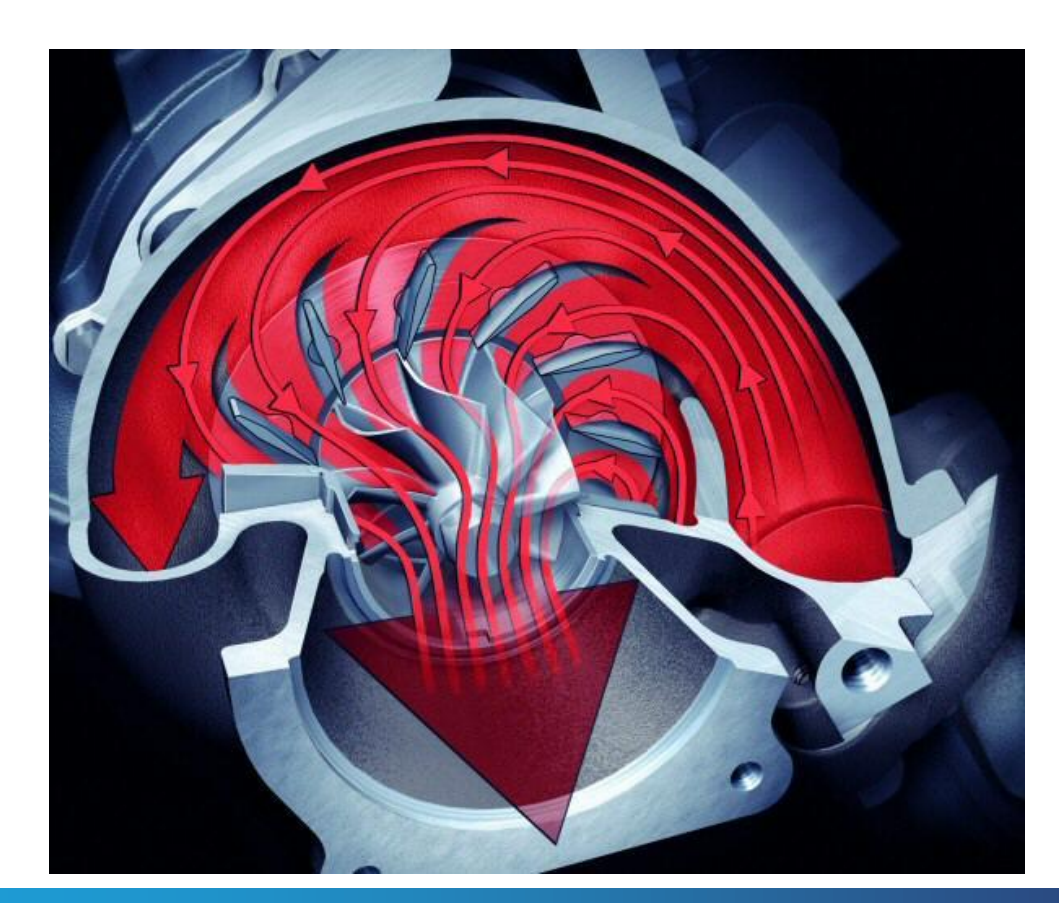
Propulsione Aerospaziale – PA8 Turb - astarita @unina.it

2

Turbine

Le **turbomacchine** sono il cuore dei motori a getto esse possono essere di due tipi:

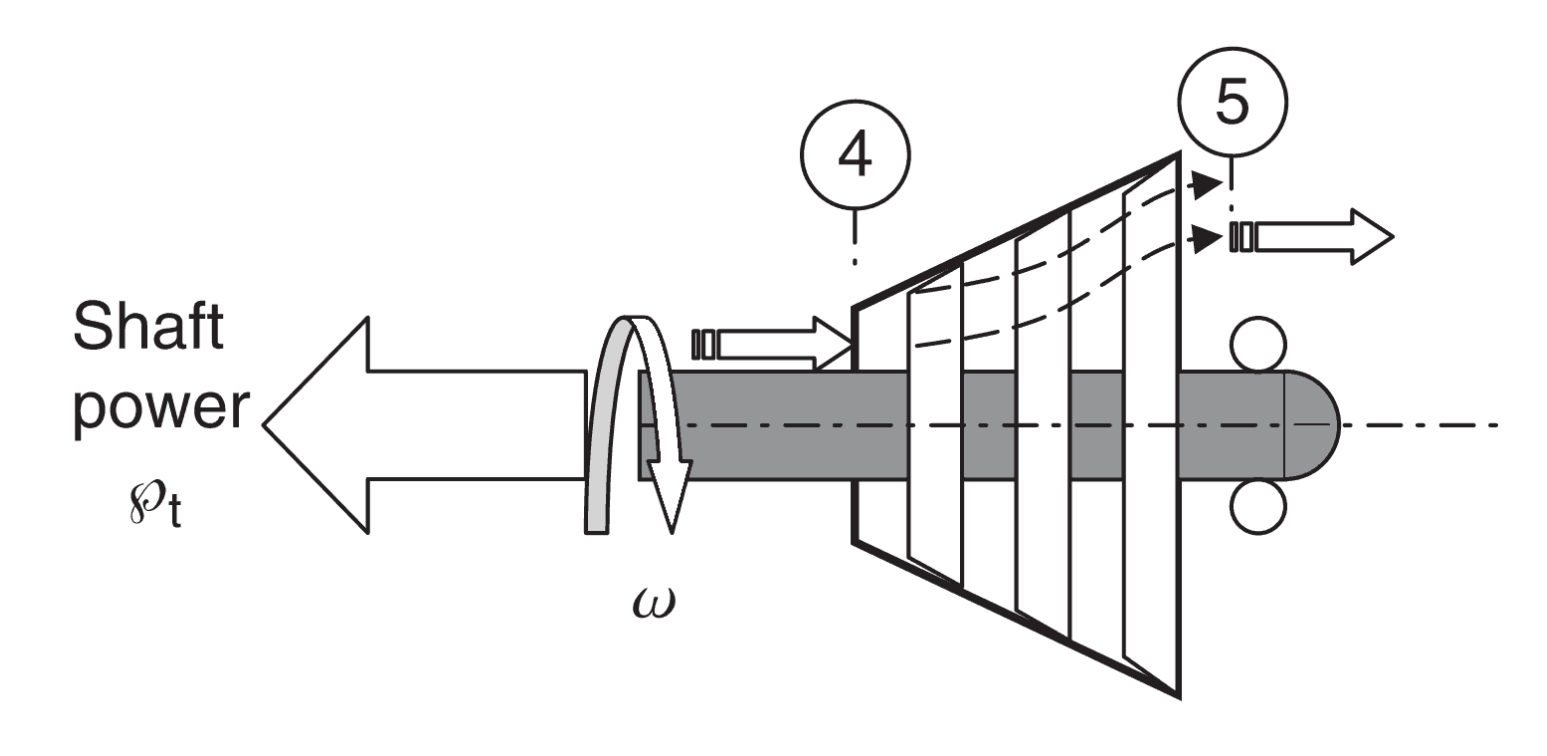
- assiali se il moto è principalmente in direzione assiale;
- centrifughe se il moto tende a ruotare e diventare ortogonale all'asse.



Le **turbomacchine** sono il cuore dei motori a getto esse possono essere di due tipi:

- assiali se il moto è principalmente in direzione assiale;
- centrifughe se il moto tende a ruotare e diventare ortogonale all'asse.

Nei moderni motori aeronautici la turbina è assiale.





Propulsione Aerospaziale – PA8 Turb - *astarita* @*unina.it*

F

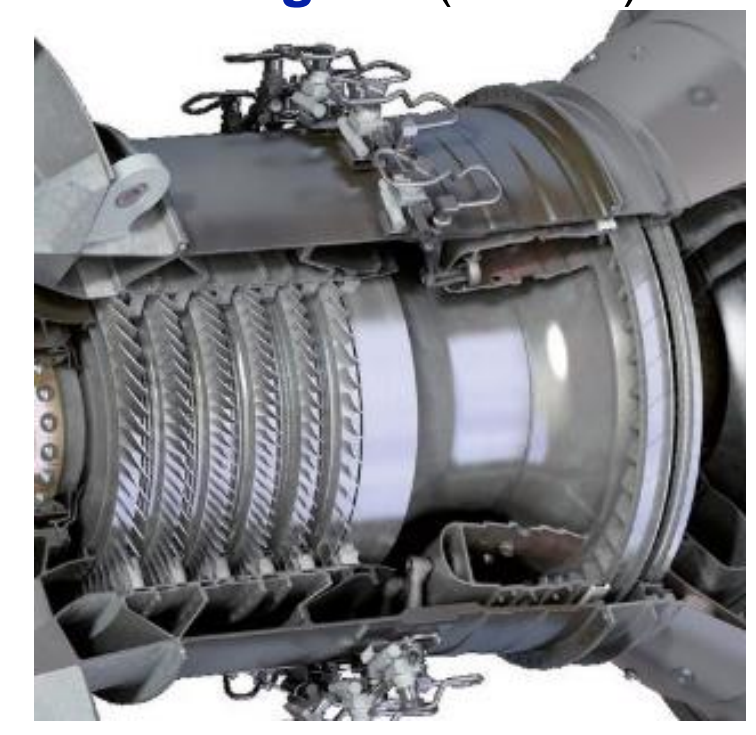
Turbine

Il flusso in ingresso nella turbina proviene dalla camera di combustione e la sua **temperatura** è tipicamente molto **maggiore** (1750-2000*K*) della temperatura **operativa delle palette**. Si rende quindi necessario un intenso **raffreddamento** tipicamente circa il 10-15% dell'aria all'uscita del compressore è utilizzata **come fluido refrigerante**.

Il primo stadio è statorico e viene anche chiamato ugello (nozzle).

Evidentemente, in una turbina, il gradiente di pressione è favorevole riducendo i problemi di separazione e permettendo di avere, a parità di rapporto di pressione, meno stadi rispetto al compressore.

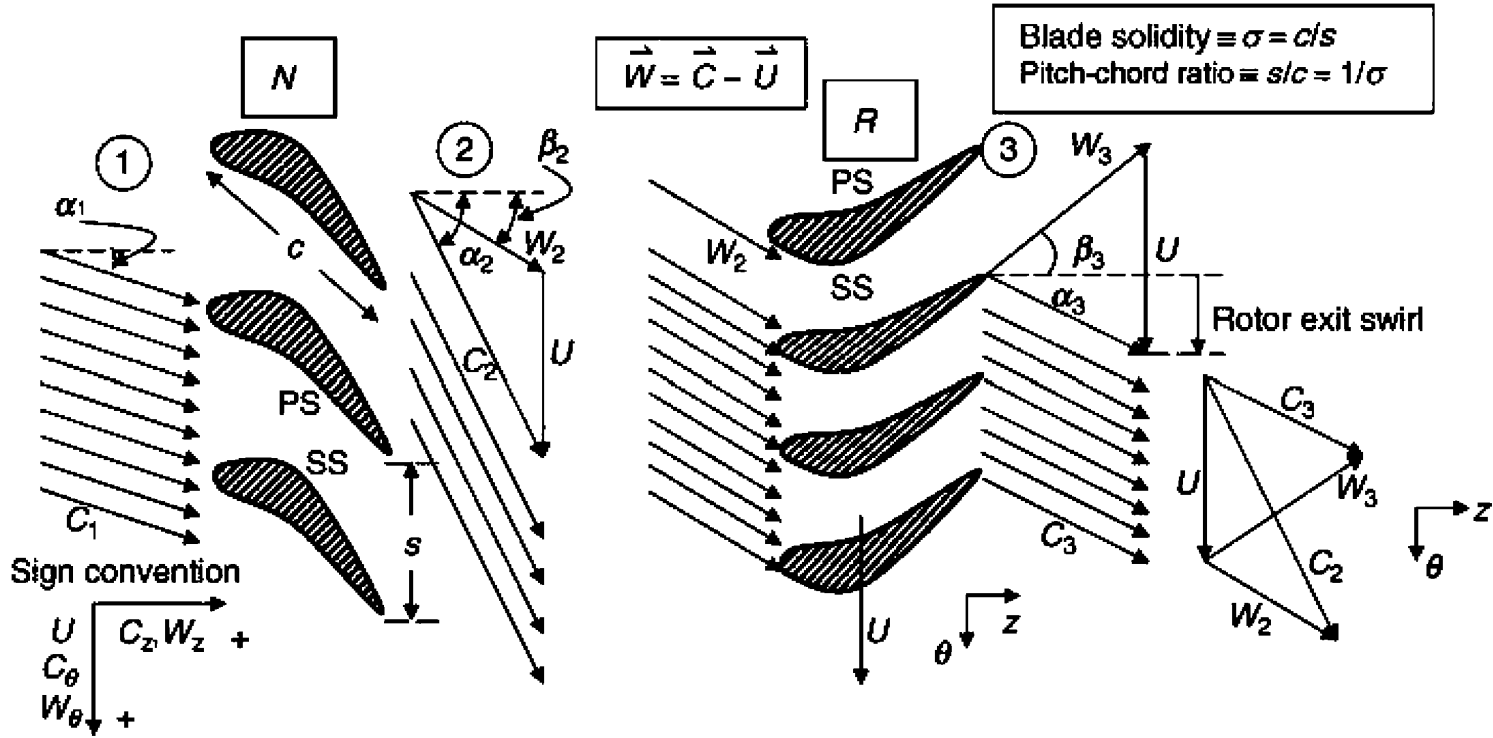
Il problema tecnologico aggiuntivo è dato dalla necessità del raffreddamento.



Le equazioni ricavate per i compressori rimangono praticamente invariate. In particolare il momento esercitato dalla paletta sul fluido è:

$$\tau_f = \dot{m}(r_2 C_{\theta 2} - r_1 C_{\theta 1})$$

Il flusso proveniente dalla camera di combustione espande nell'ugello riducendo la sua temperatura sensibile ed aumentando l'energia cinetica.





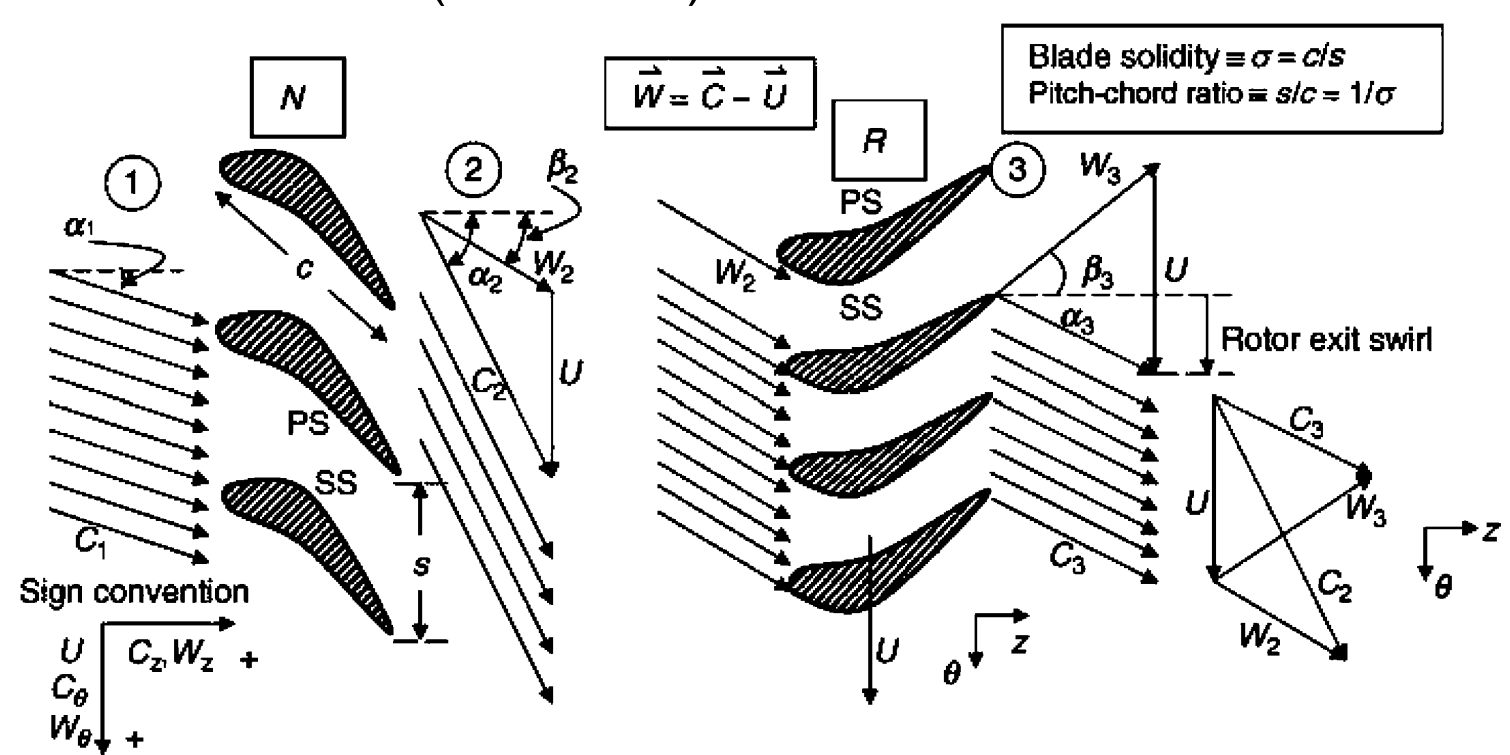
Propulsione Aerospaziale – PA8 Turb - astarita @unina.it

7

Turbine

Il flusso è inizialmente essenzialmente assiale e l'ugello lo accelera producendo una componente in direzione azimutale. Spesso l'ugello lavora in condizioni soniche o anche supersoniche.

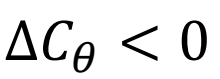
Il rotore invece scambia energia con il fluido riducendo la componente azimutale. Tipicamente le componenti azimutali a monte ed a valle dello stadio sono nulle (i.e. $\alpha \cong 0$).

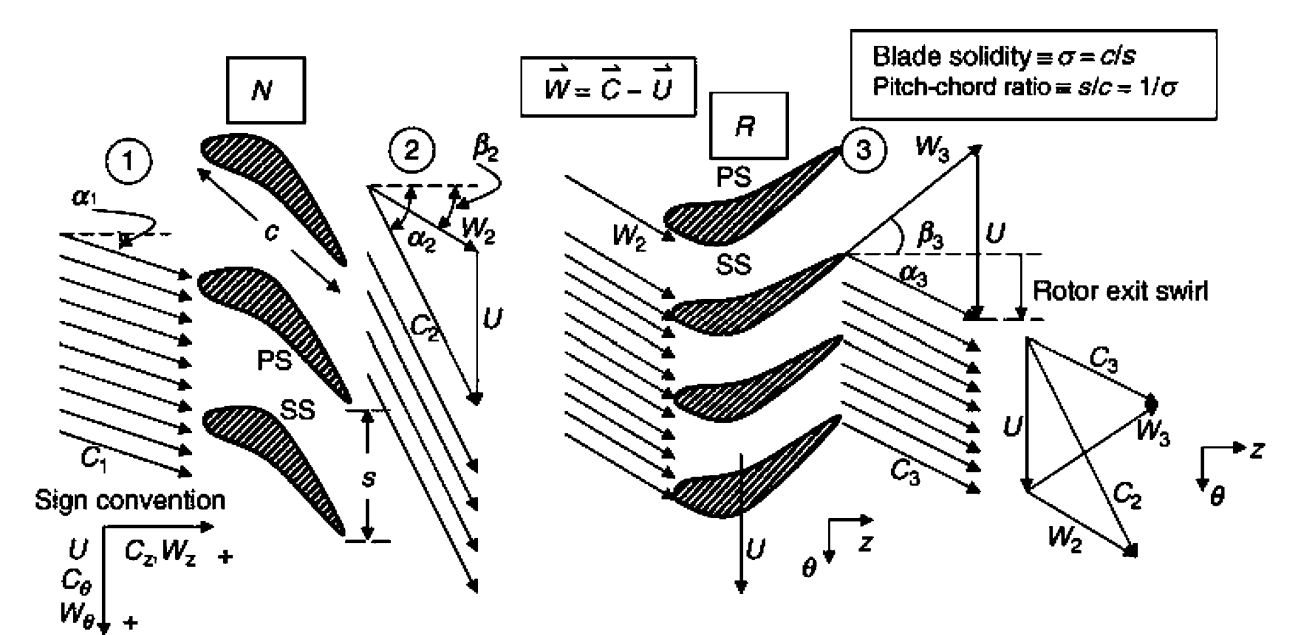


Come si nota dalla — figura i diagrammi — delle velocità sono — molto diversi da quelli — del compressore.

Le **rotazioni** imposte dall'ugello e dal rotore sono maggiori rispetto al compressore.

Al contrario del compressore, a cavallo del rotore la differenza fra le velocità azimutali è negativa:





(2)



Propulsione Aerospaziale – PA8 Turb - astarita@unina.it

 (\circ)

IGV

(1)

Ū

R

(

(3)

S

Turbine

Dall'equazione di Eulero la potenza estratta dal rotore è:

$$\mathcal{P}_r = -\mathcal{P}_f = \dot{m}(h_{t2} - h_{t3}) = \dot{m}\tau_f\omega = \dot{m}\omega(r_2C_{\theta 2} - r_3C_{\theta 3}) = -\dot{m}\omega\Delta(rC_{\theta})$$

Quando ci sono più stadi ripetuti si impone:

$$r_3C_{\theta 3} = r_1C_{\theta 1}$$

e i momenti nell'ugello e nel rotore sono uguali e di segno opposto.

Il **grado di reazione** per una turbina è definito come la frazione di diminuzione di entalpia sensibile che avviene nel rotore ($h_{t2} = h_{t1}$):

$${}^{\circ}R = \frac{h_2 - h_3}{h_1 - h_3} = \frac{h_{t2} - h_{t3} - (C_2^2 - C_3^2)/2}{h_{t1} - h_{t3} - (C_1^2 - C_3^2)/2} = \frac{h_{t2} - h_{t3} - (C_2^2 - C_3^2)/2}{h_{t2} - h_{t3} - (C_1^2 - C_3^2)/2}$$

Nell'ipotesi che lo stadio sia ripetuto $(C_1 = C_3)$, che la componente assiale della velocità sia costante $(C_{z2} = C_{z1})$ e dall'equazione di Eulero (vedi sopra $\Delta h_t = U\Delta C_{\theta}$) si ha

$$CR = 1 - \frac{(C_2^2 - C_3^2)/2}{h_{t2} - h_{t3}} = 1 - \frac{(C_{\theta 2}^2 - C_{\theta 3}^2)/2}{U(C_{\theta 2} - C_{\theta 3})} = 1 - \frac{C_{\theta 2} + C_{\theta 3}}{2U}$$



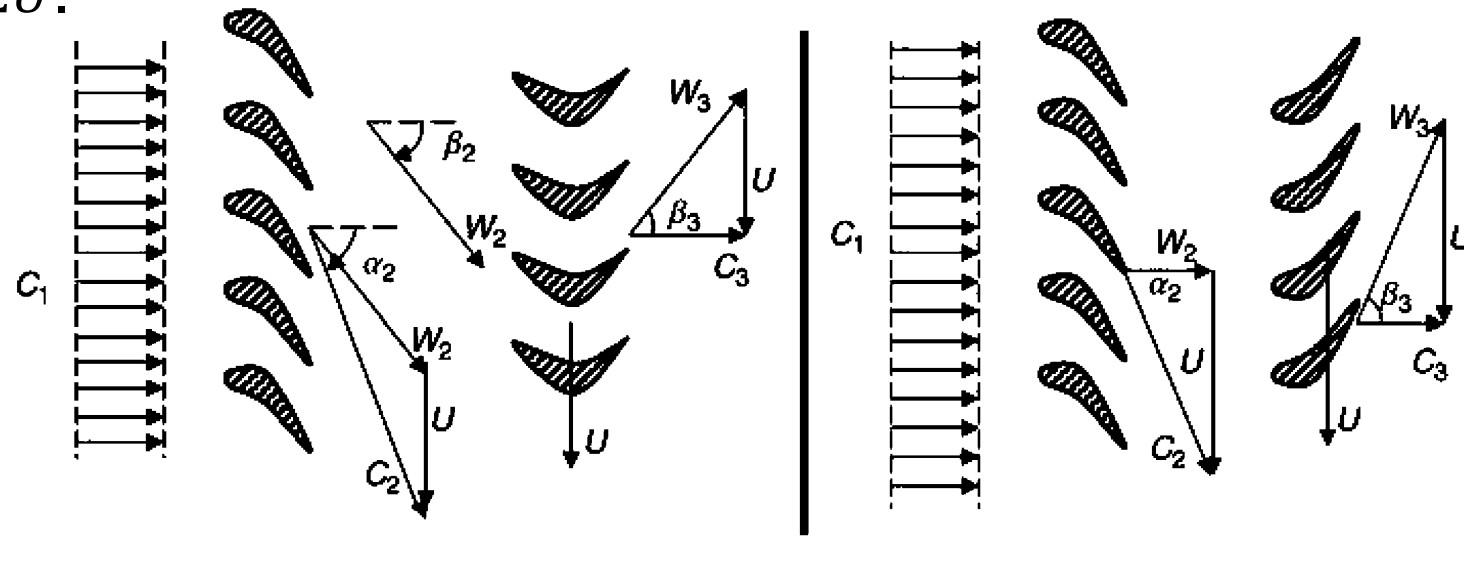
$$^{\circ}R = 1 - \frac{C_{\theta 2} + C_{\theta 3}}{2II} = 1 - \frac{C_{\theta.mean}}{II}$$

Che è identica a quella trovata per i compressori.

In figura sono mostrati, nell'ipotesi che il moto all'uscita sia assiale $(C_{\theta 3} = 0)$, i casi in cui °R = 0 e 0.5 cioè turbina ad **impulso** (o ad azione pura) ed a **reazione**.

Nel primo caso (°R = 0) si deve avere $C_{\theta.mean} = U$ da cui per ($C_{\theta 3} = 0$)

 $C_{\theta 2} = 2U$.



(a) Impulse stage $[\beta_2 = -\beta_3]$

(b) 50% reaction stage $[\beta_3 = -\alpha_2]$



Propulsione Aerospaziale – PA8 Turb - astarita@unina.it

4.4

Turbine

$$^{\circ}R = 1 - \frac{C_{\theta.mean}}{II}$$
 $C_{\theta 2} = 2U$

Quindi, come mostrato in figura $\beta_2 = -\beta_3 \cdot c_1$ Inoltre il lavoro specifico ed il **coefficiente di carico** sono:

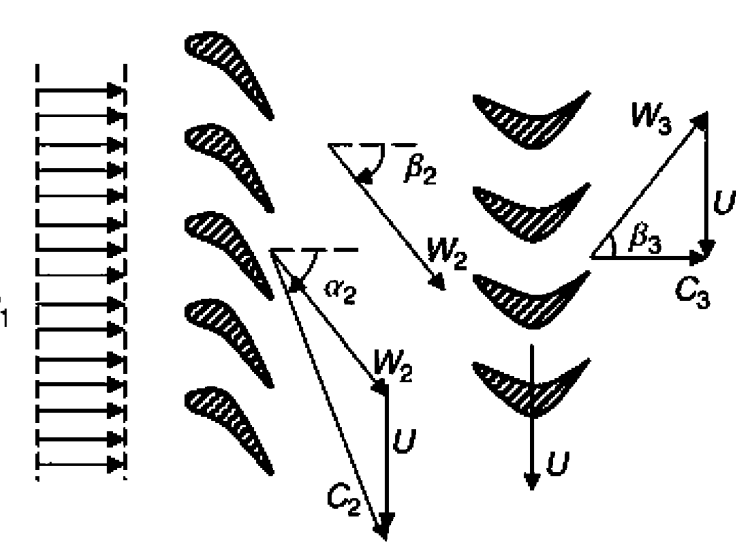
$$w_t = \Delta h_t \cong U \Delta C_\theta = 2U^2$$
 $\Psi_c = \frac{\Delta h_t}{U^2} = 2$

Per la turbina a **reazione** (°R = 0.5) invece, sempre per ($C_{\theta 3} = 0$):

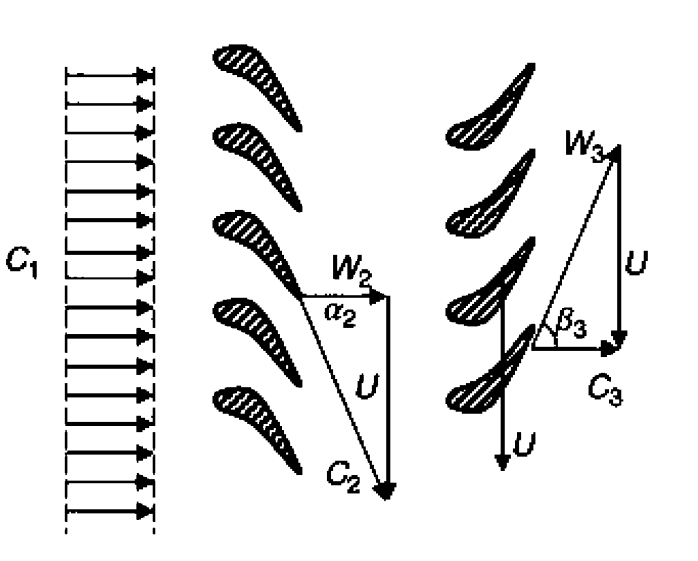
$$C_{\theta.mean} = U/2 \qquad \rightarrow \qquad C_{\theta 2} = U$$

$$w_t = \Delta h_t \cong U \Delta C_\theta = U^2$$
 $\qquad \Psi_c = \frac{\Delta h_t}{U^2} = 1$

La turbina a **impulso** produce il doppio del lavoro per stadio, sono però normalmente **meno efficienti** di quelle a reazione, perché nel rotore non c'è accelerazione.



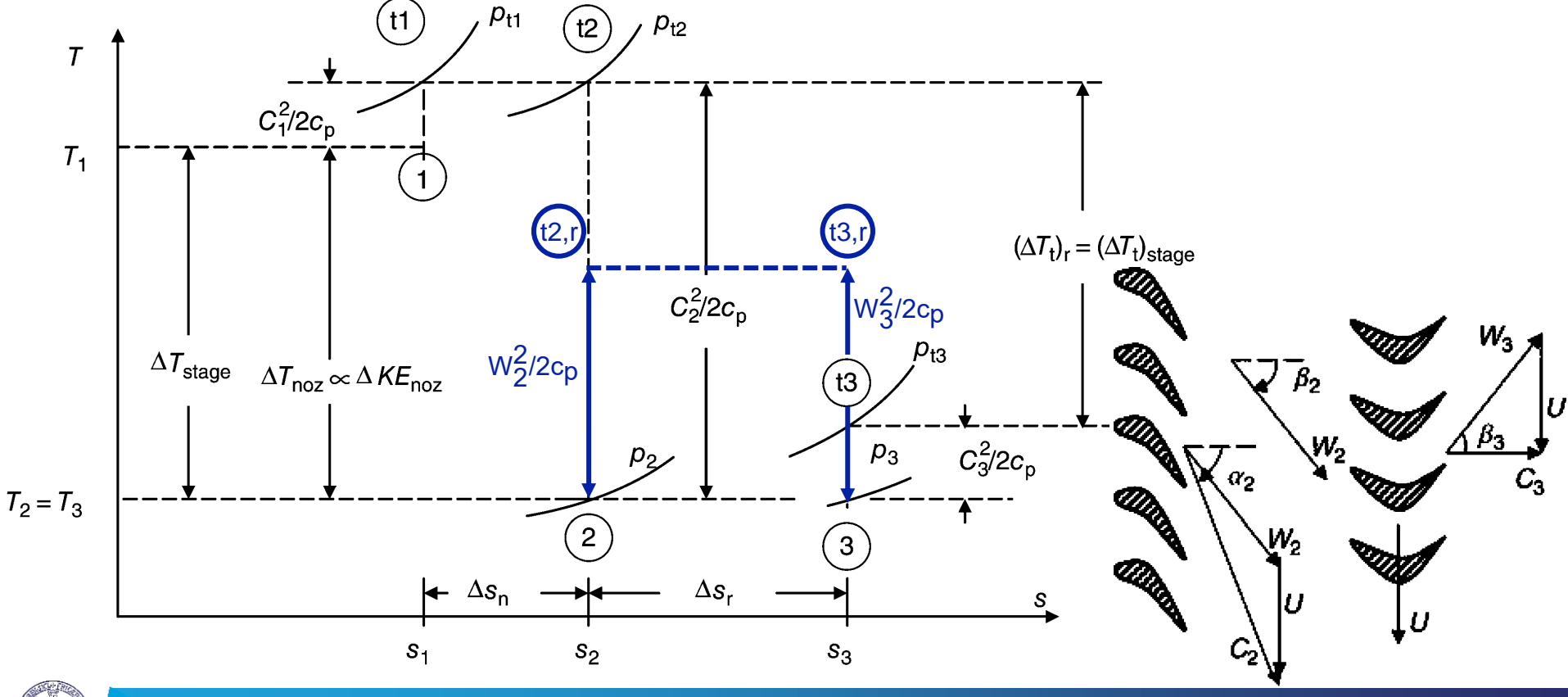
(a) Impulse stage $[\beta_2 = -\beta_3]$



(b) 50% reaction stage $[\beta_3 = -\alpha_2]$

Turbina ad impulso

Nella turbina ad **impulso** (°R = 0.0) la temperatura statica rimane costante nel rotore mentre la velocità assoluta diminuisce. Viceversa nell'ugello, a causa della forte accelerazione, la temperatura statica varia significativamente. Le perdite di carico sono associate anche alle possibili onde d'urto

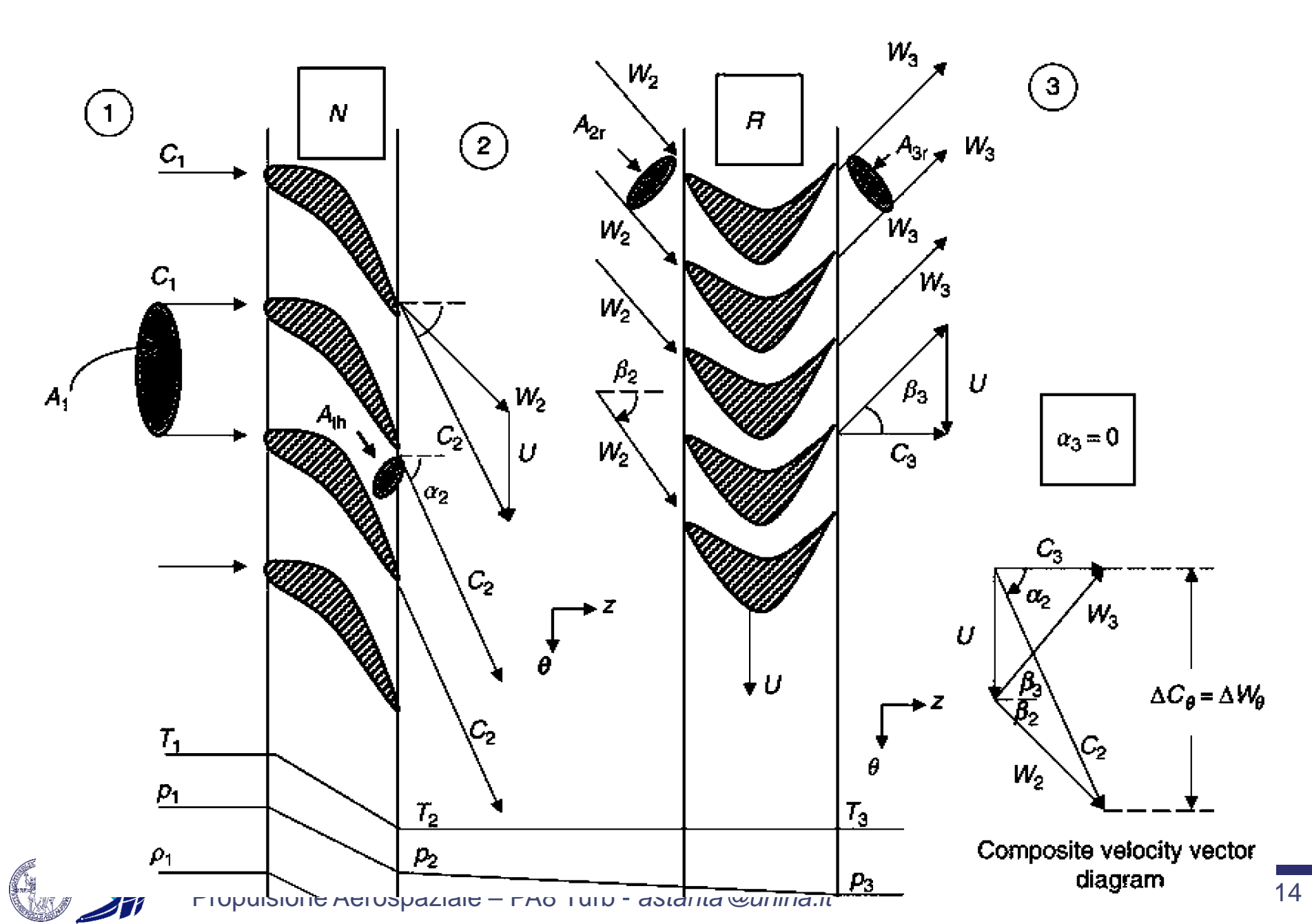




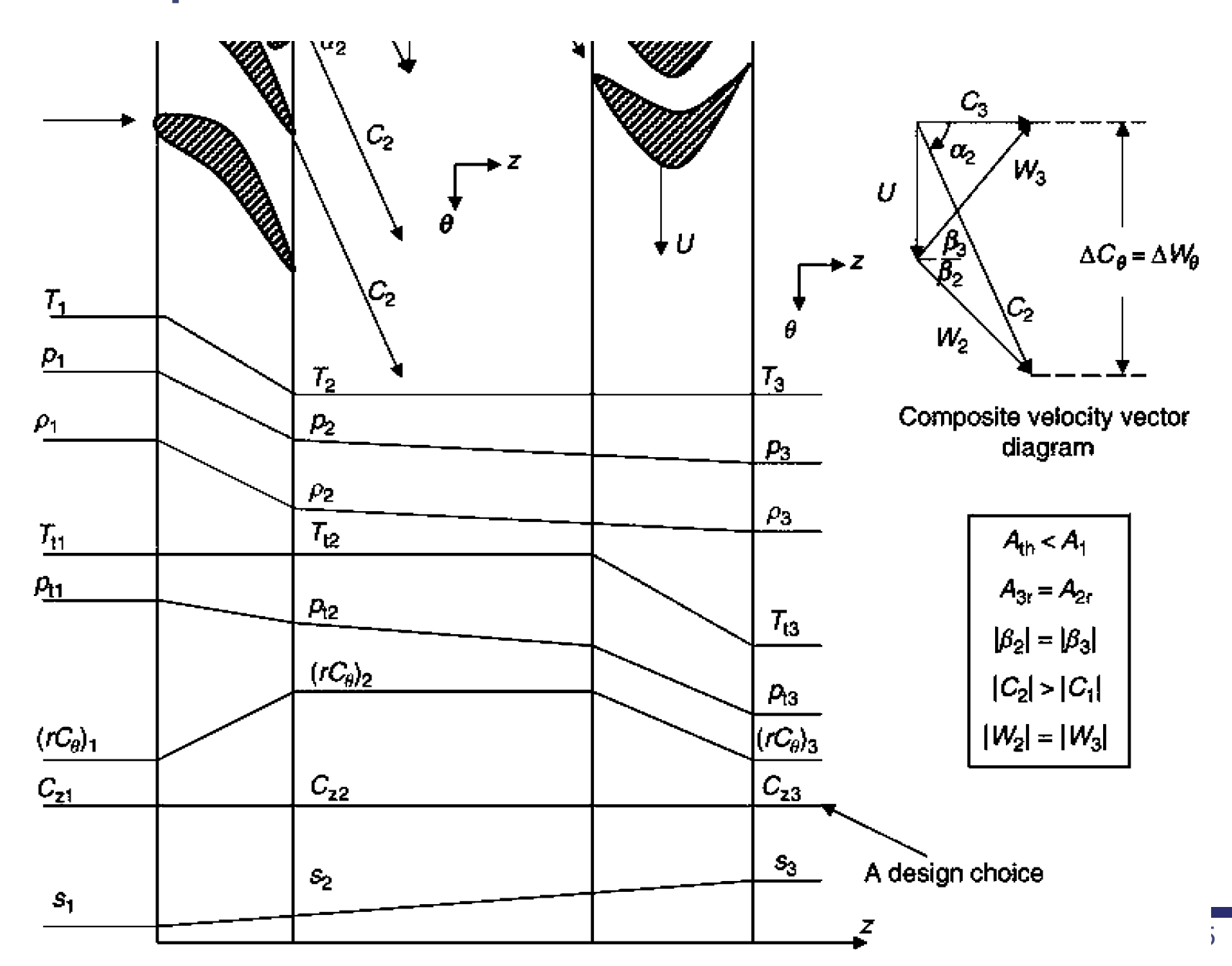
Propulsione Aerospaziale – PA8 Turb - astarita@unina.it

13

Turbina ad impulso

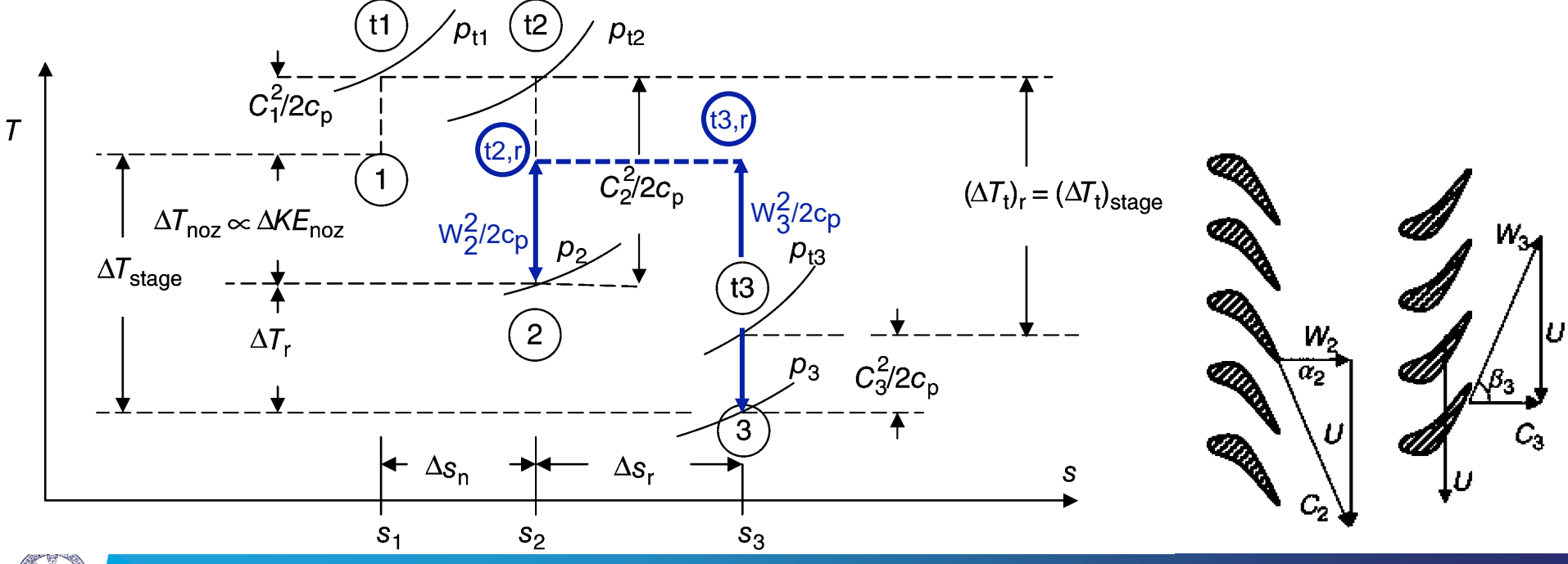


Turbina ad impulso

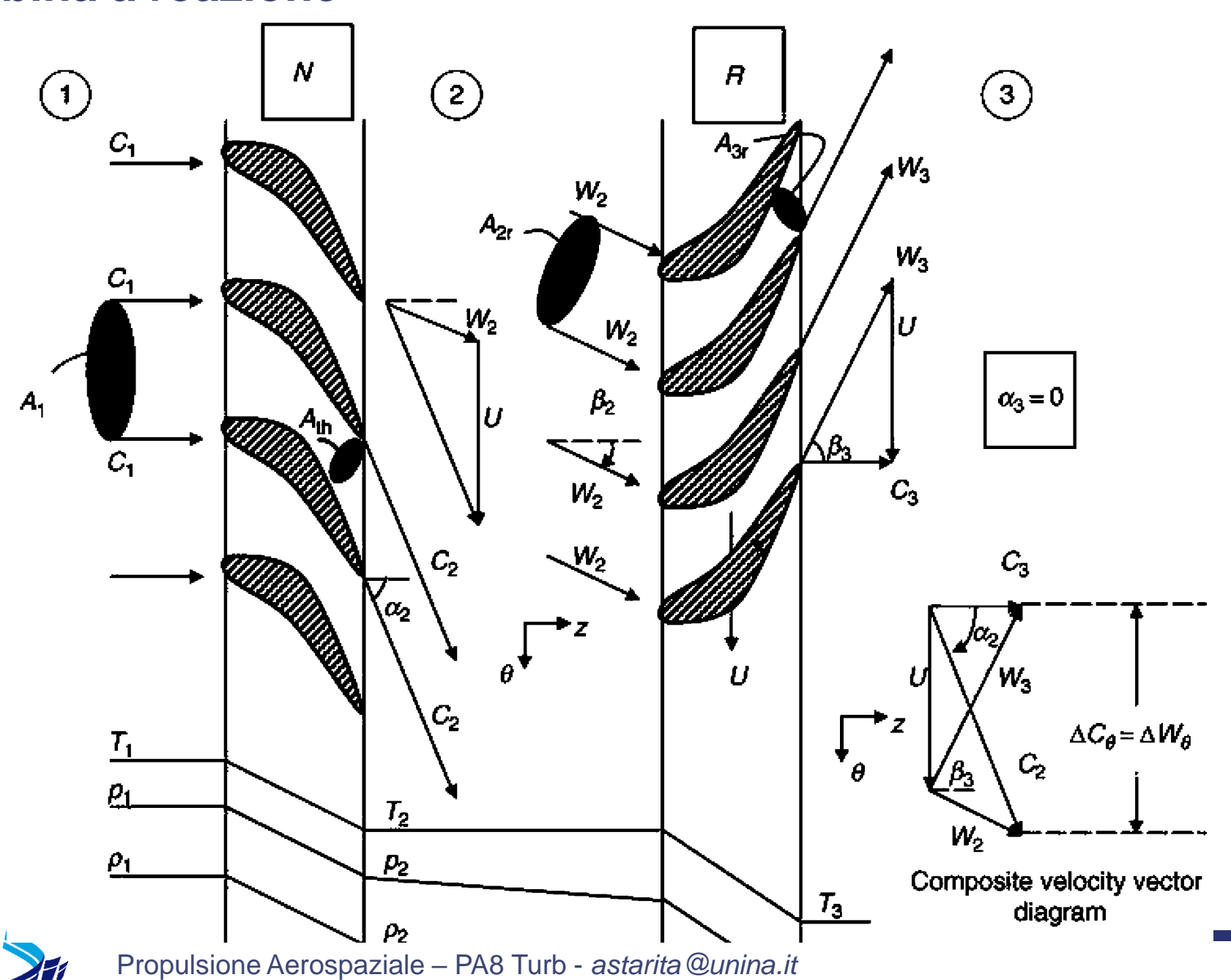


Turbina reazione

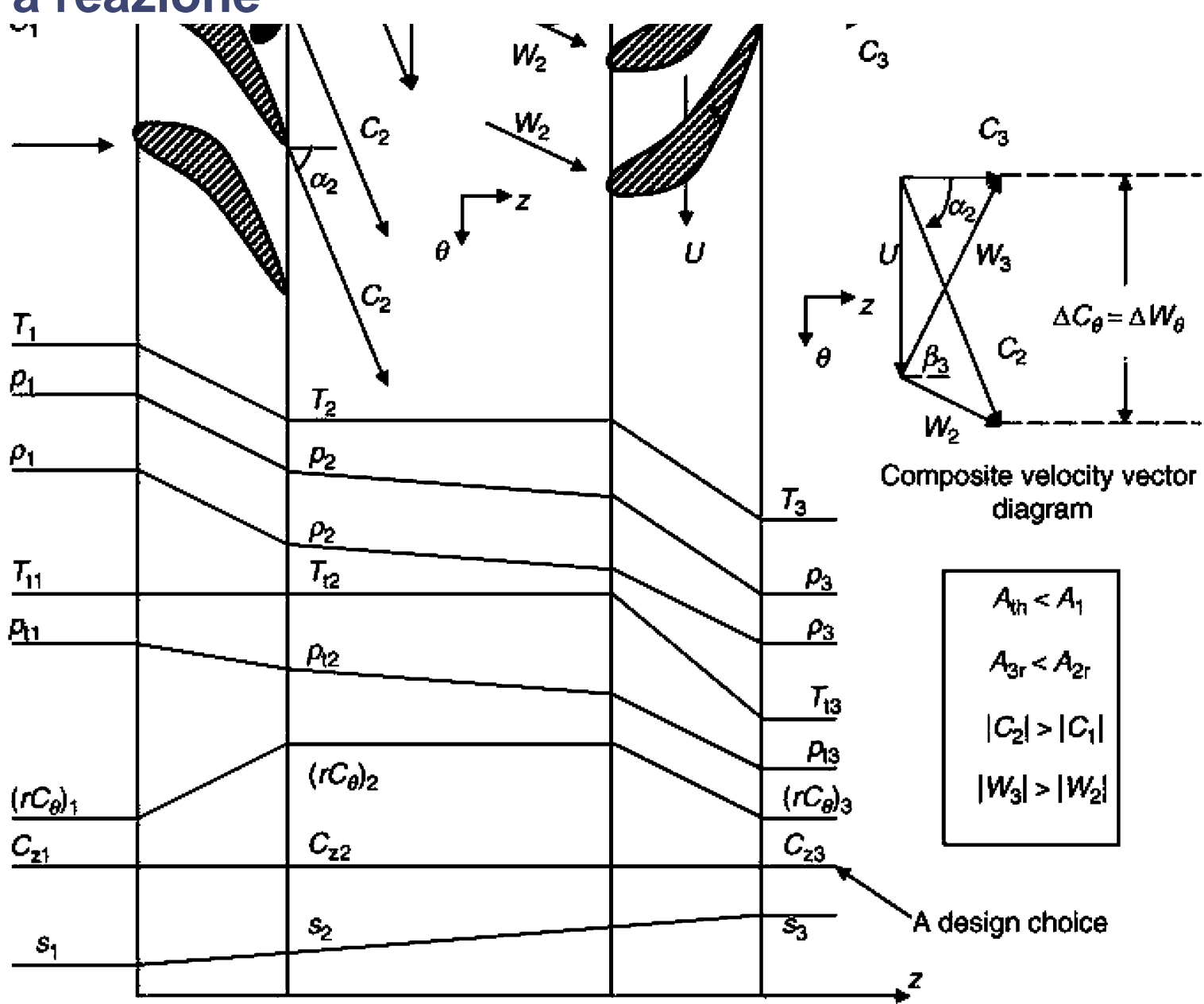
Nella turbina a Reazione (°R=0.5) la temperatura statica diminuisce sia nell'ugello che nel rotore. La velocità aumenta nell'ugello e diminuisce nel rotore. Il salto di temperatura di ristagno è inferiore a quello precedente così come l'aumento di entropia.



Turbina a reazione



Turbina a reazione



17

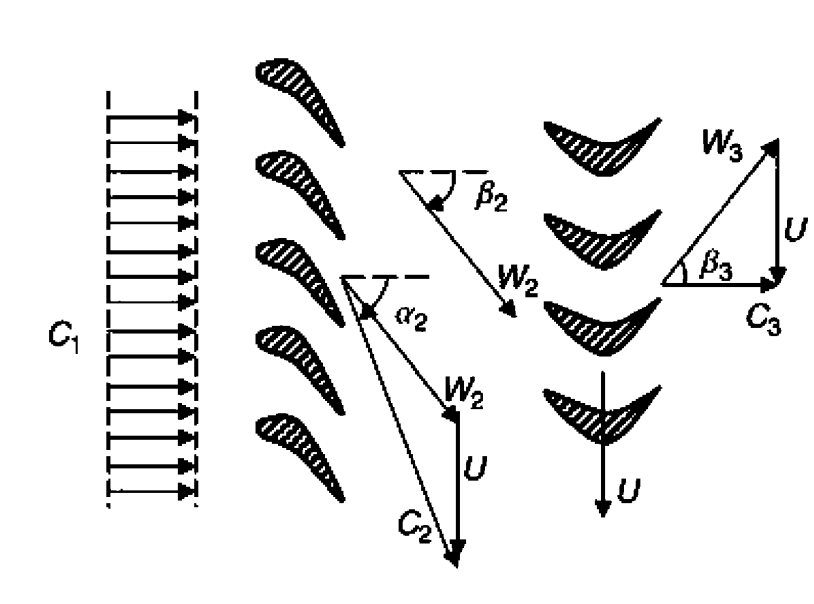
Nelle ipotesi fatte II lavoro specifico può essere anche espresso in funzione dell'angolo all'uscita dell'ugello:

$$w_t \cong U\Delta C_\theta = UC_{\theta 2} = UC_{z2} \tan \alpha_2$$

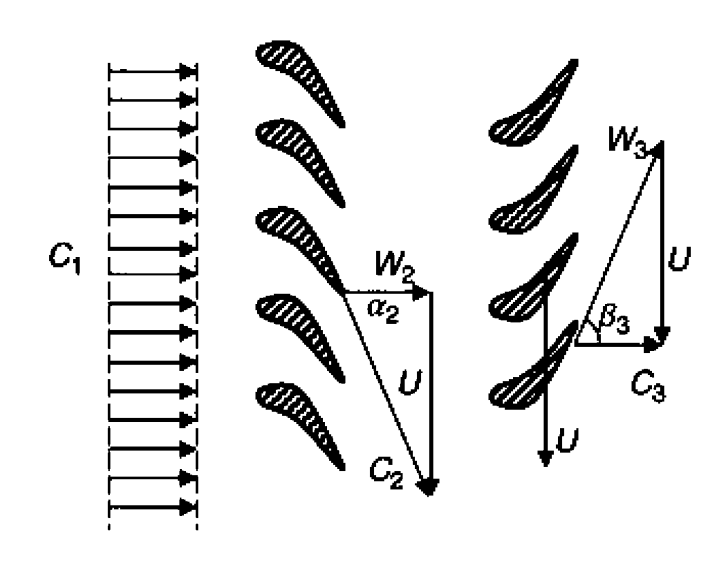
Quindi il lavoro aumenta linearmente con angolare e velocita più linearmente con l'angolo. Evidentemente all'angolo esistono delle limitazioni massimo:

$$\alpha_{2.max} \sim 70^{\circ}$$

Anche la velocità angolare è limitata a dell'aumento della forza causa centrifuga e di conseguenza degli sforzi nella paletta.



(a) Impulse stage $[\beta_2 = -\beta_3]$



(b) 50% reaction stage $[\beta_3 = -\alpha_2]$

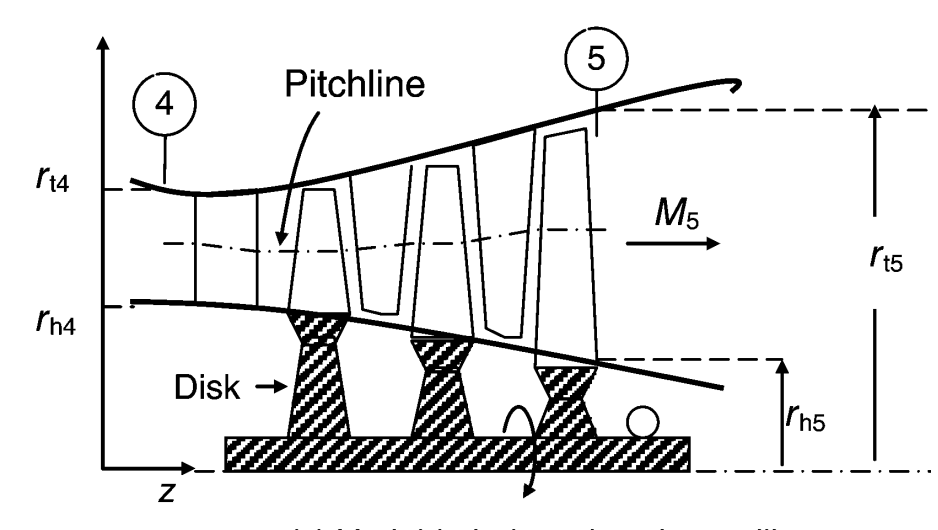


Propulsione Aerospaziale - PA8 Turb - astarita@unina.it

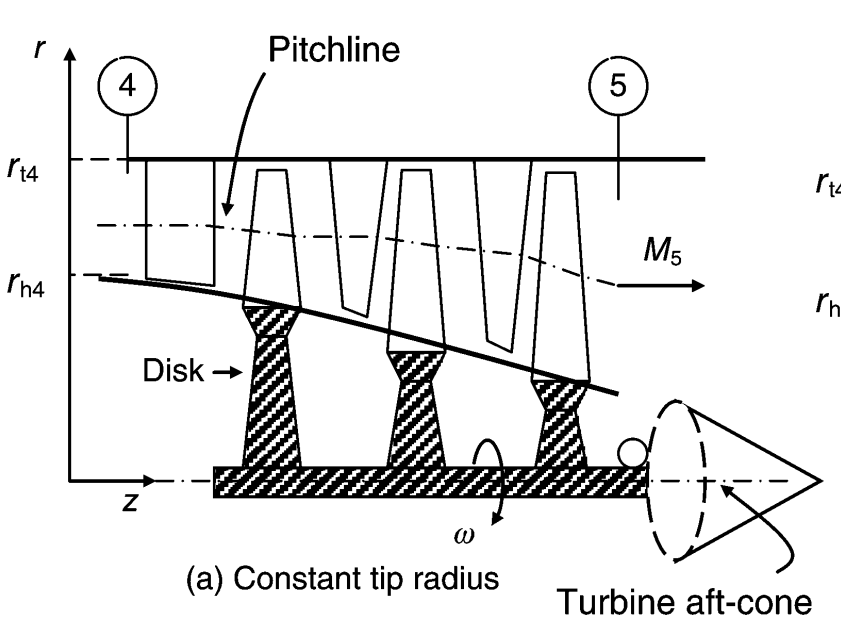
Turbine

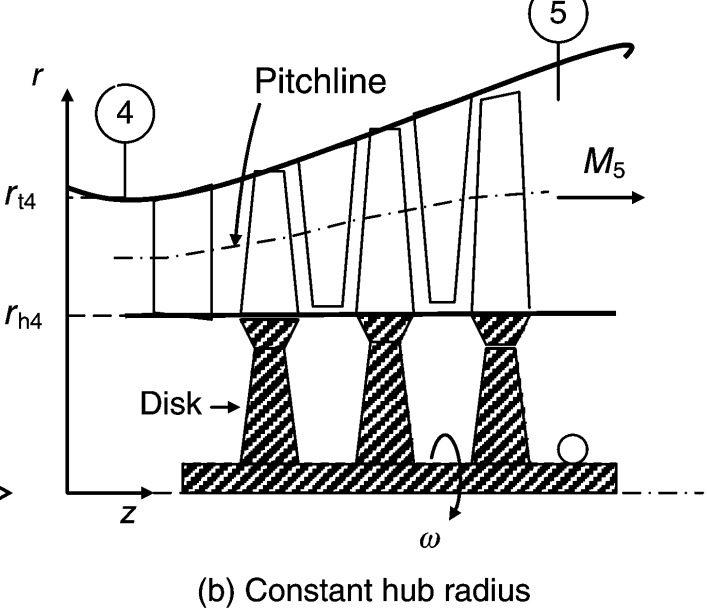
Se C_z è costante, a causa della diminuzione della densità, l'area di passaggio deve aumentare. Inoltre si deve tener in conto anche della portata d'aria per il raffreddamento.

In figura sono mostrate tre possibili configurazioni del condotto anulare.



(c) Variable hub and casing radil





19

Per le turbine il parametro che permette di valutare la caduta di pressione di ristagno media nelle schiere di profili alari è:

$$\overline{\omega}_S = \frac{p_{t1} - p_{t2}}{p_{t2} - p_2}$$

$$\overline{\omega}_r = \frac{p_{tr3} - p_{tr2}}{p_{tr2} - p_2}$$

da cui si può ricavare:

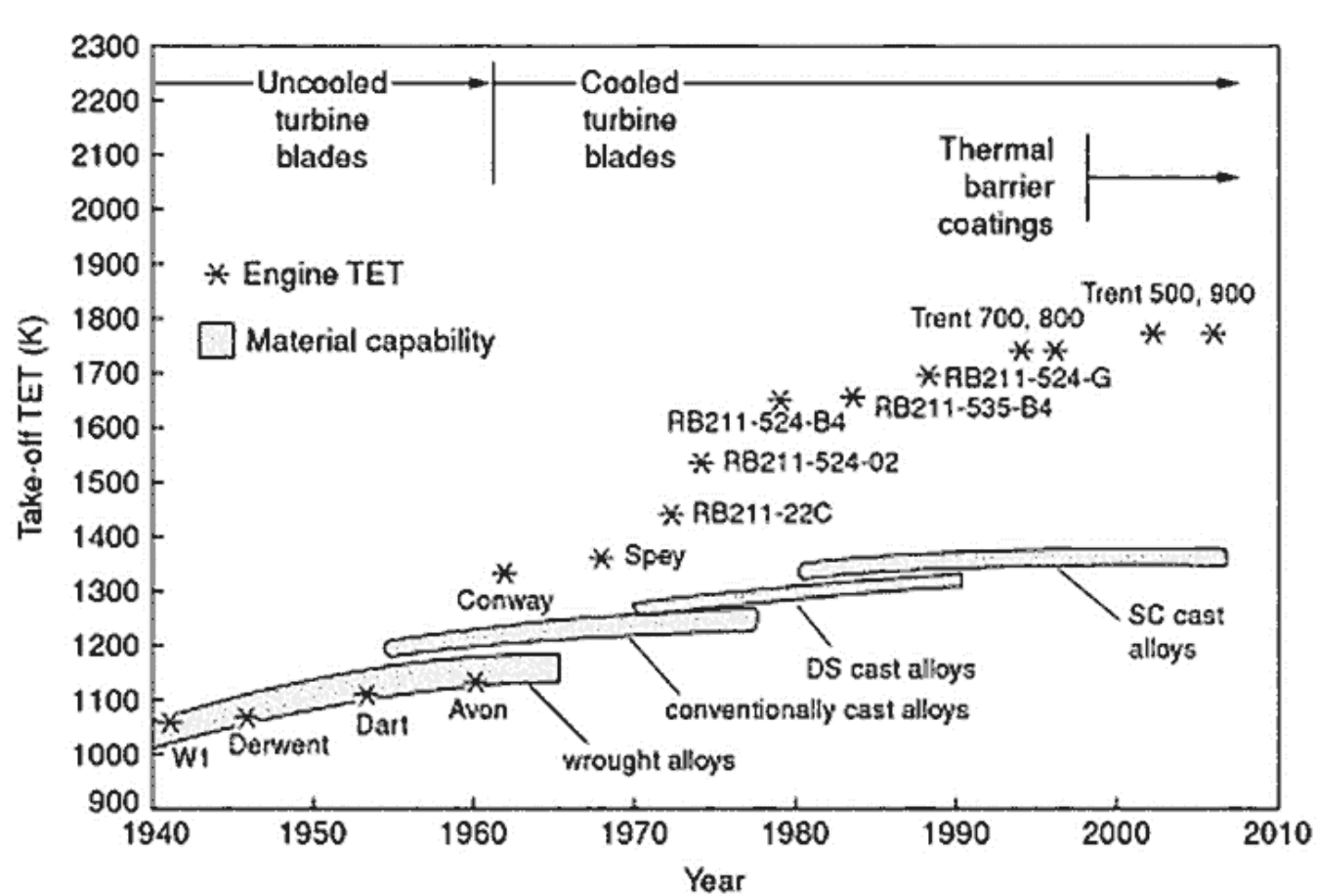
$$\frac{p_{t2}}{p_{t1}} = \frac{1}{1 + \overline{\omega}_s \left(1 - \frac{p_2}{p_{t2}}\right)}$$

$$\frac{p_{t2}}{p_{t1}} = \frac{1}{1 + \overline{\omega}_s \left(1 - \frac{p_2}{p_{t2}}\right)} \qquad \frac{p_{tr3}}{p_{tr2}} = \frac{1}{1 + \overline{\omega}_r \left(1 - \frac{p_3}{p_{tr3}}\right)}$$



Raffreddamento delle Turbine

La temperatura media all'ingresso di una moderna turbina è circa 1750-2000K, superiore alla temperatura operativa delle superleghe. Si rende necessario un raffreddamento attivo dei primi stadi delle turbine.



Come si vedrà per alcuni tipi di raffreddamento è necessario che il fluido refrigerante si trovi ad una pressione superiore a quella nella turbina. Nei primi stadi è necessario quindi utilizzare aria prelevata all'uscita del compressore.

Evidentemente la temperatura di riferimento è la temperatura di parete adiabatica che è legata alla temperatura statica T_g dalle seguenti relazioni valide nel sistema di riferimento statico e rotante:

$$T_{aw} = T_g + r \frac{C^2}{2c_p}$$
 $T_{aw,r} = T_g + r \frac{W^2}{2c_p}$

La temperatura di parete adiabatica coincide con quella di ristagno quando il coefficiente di recupero *r* è unitario:

$$T_t = T_g + \frac{C^2}{2c_p}$$
 $T_{t,r} = T_g + \frac{W^2}{2c_p}$



Propulsione Aerospaziale – PA8 Turb - astarita@unina.it

23

Raffreddamento delle Turbine

$$T_{aw} = T_g + r \frac{C^2}{2c_p}$$
 $T_{aw,r} = T_g + r \frac{W^2}{2c_p}$

Per moto su lastra piana il coefficiente di recupero è dato da:

$$r = \sqrt{Pr}$$
 regime laminare $r = \sqrt[3]{Pr}$ regime turbolento Dove Pr è il numero di **Prandtl**:

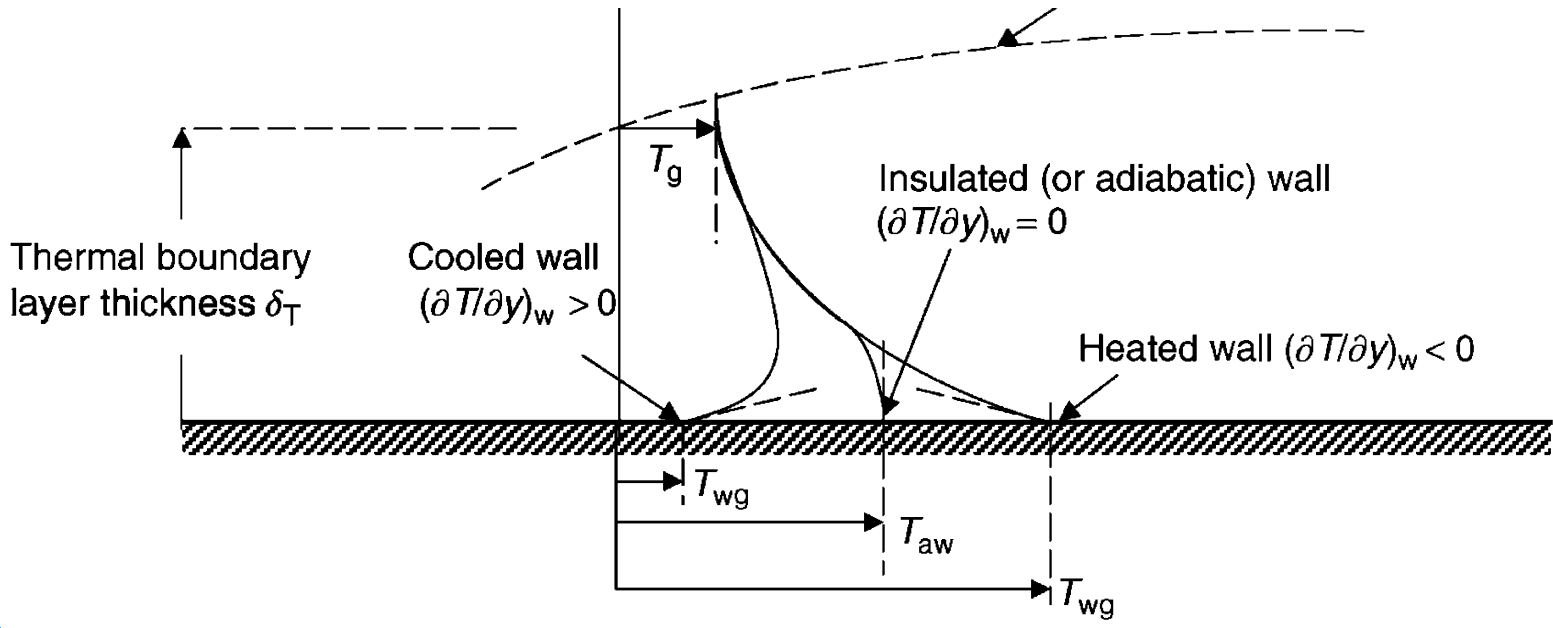
$$Pr = \frac{c_p \mu}{k} = \frac{\nu}{\alpha}$$

Il numero di Prandtl per aria è compreso fra 0.7 e 0.74 in un ampio intervallo di temperature. Il coefficiente di recupero, per lastra piana e moto turbolento, è circa 0.89. Quindi la temperatura di parete adiabatica differisce di circa il 10% del termine dinamico rispetto alla temperatura di ristagno.

Spesso si definisce un parametro che definisce l'efficienza del raffreddamento come:

$$\eta = \frac{T_t - T_{wg}}{T_t - T_c}$$

dove T_c è la temperatura del fluido freddo. In realtà la **definizione corretta** sarebbe basata sulla temperatura di parete adiabatica e non sulla temperatura di ristagno. Tipici valori di η sono compresi fra 0.6 e 0.7.





Propulsione Aerospaziale – PA8 Turb - astarita @unina.it

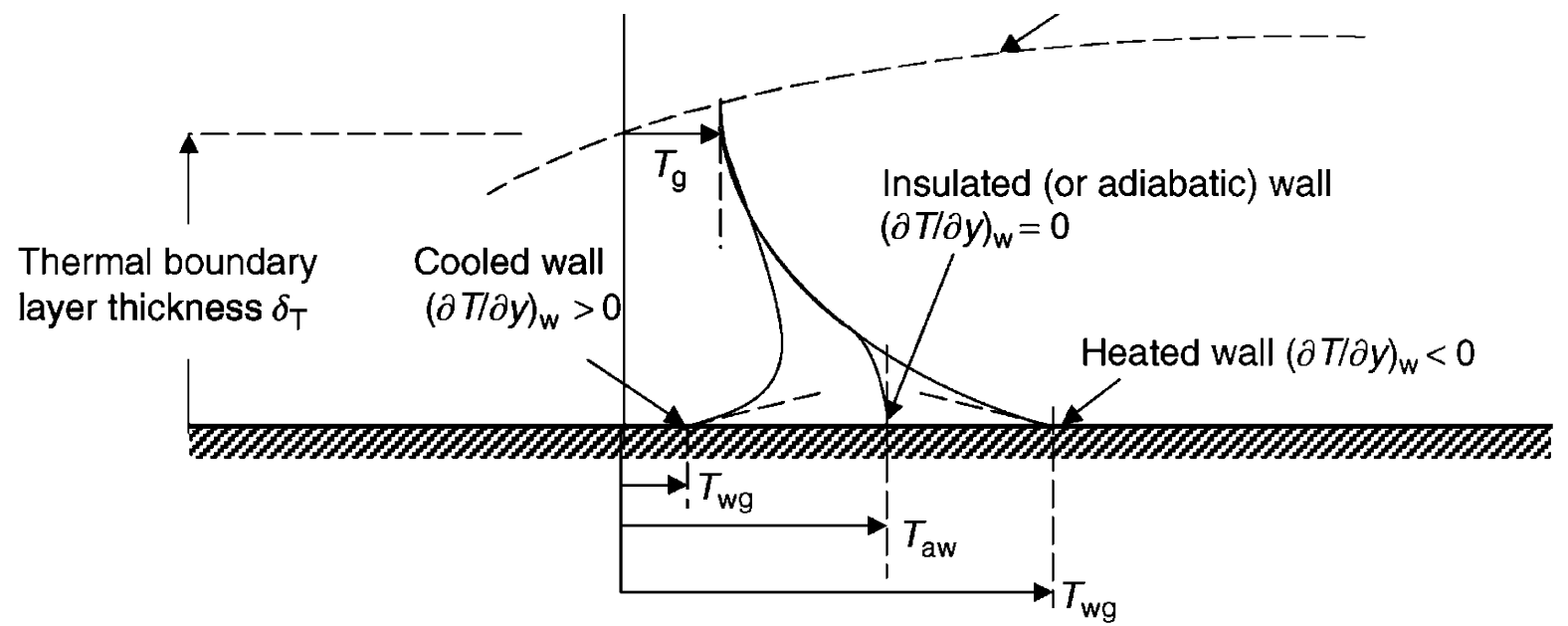
25

Raffreddamento delle Turbine

In prossimità della parete il flusso termico coincide con quello conduttivo dato dalla legge di Fourier.

$$q_{y} = -k \frac{\partial T}{\partial y}$$

Chiaramente quando il gradiente di temperatura è nullo la parete è adiabatica mentre si ha un raffreddamento (risp. riscaldamento) se è positivo (risp. negativo).



Gli effetti delle alte temperature dei gas all'ingresso della turbina possono essere contrastati con metodi passivi:

• Impiego di superleghe o protezione della superfice con materiali a bassa

conducibilità (tipicamente ceramici);

raffreddamento per radiazione;

oppure attivi:

raffreddamento per convezione all'interno della paletta;

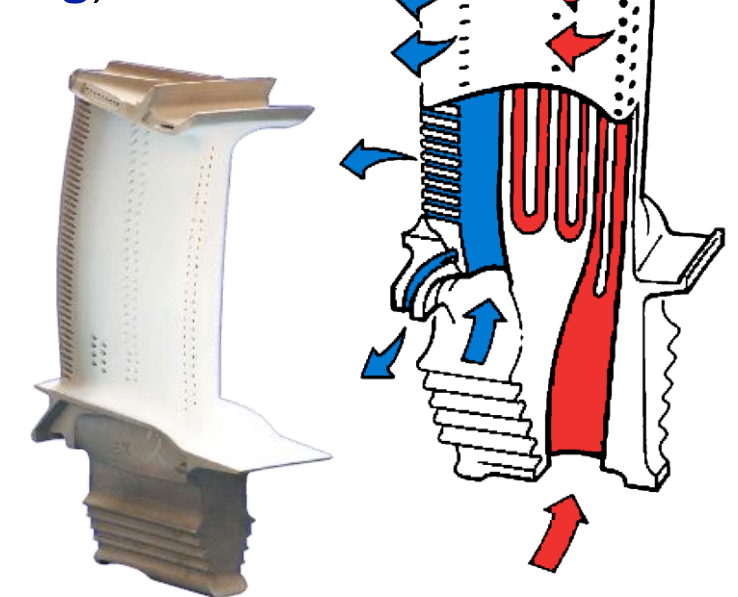
raffreddamento per con film freddo (film cooling);

raffreddamento per traspirazione;

o una combinazione delle suddette tecniche.





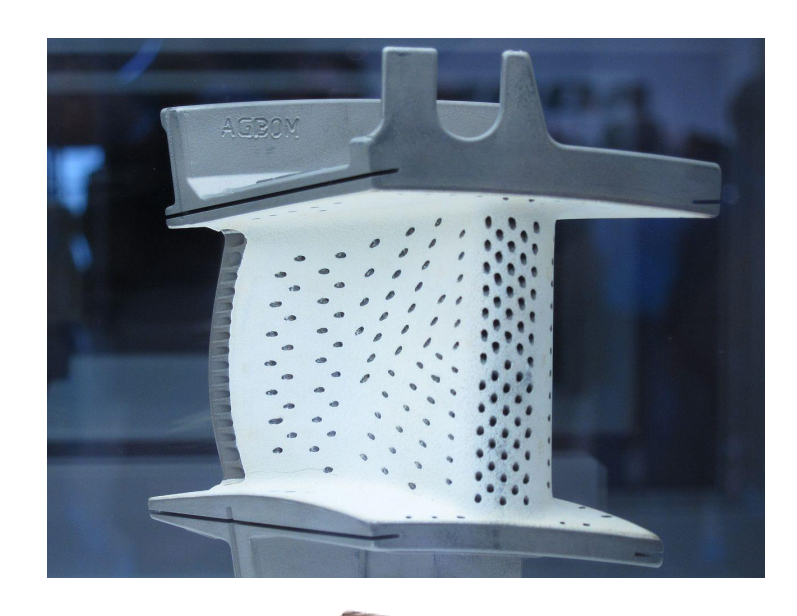


Propulsione Aerospaziale – PA8 Turb - astarita@unina.it

27

Raffreddamento delle Turbine















Propulsione Aerospaziale – PA8 Turb - astarita @unina.it

Raffreddamento delle Turbine

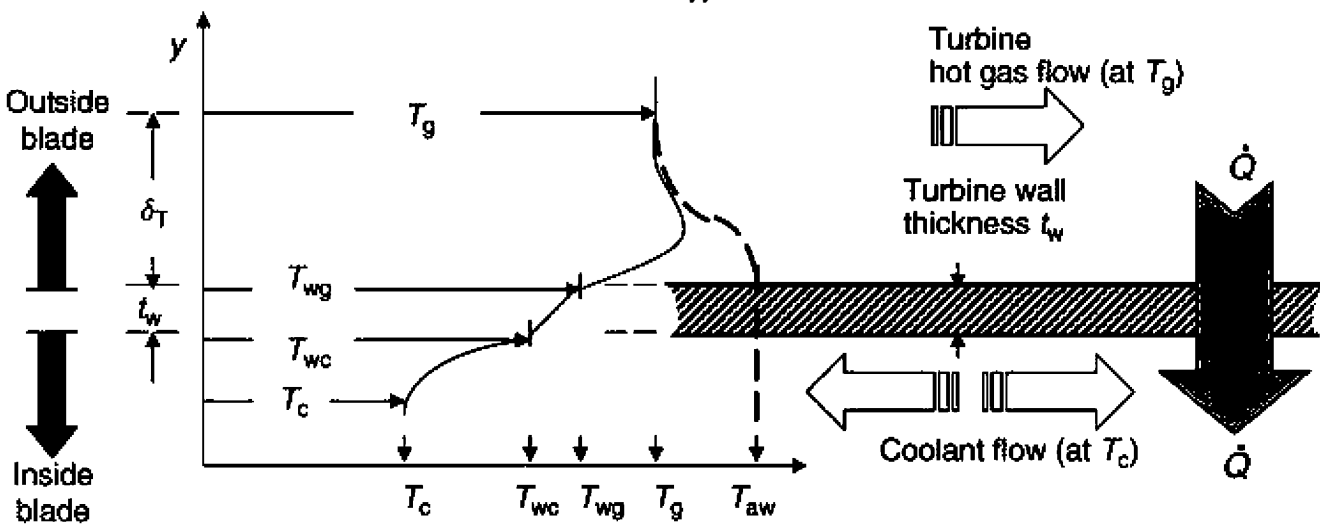
Lo scambio termico convettivo è governato dalla legge di Newton ad esempio all'esterno della paletta il flusso di energia entrante è:

$$q = h_g (T_{aw} - T_{wg})$$

dove h è il coefficiente di scambio convettivo e una formula analoga vale all'interno della paletta.

Nelle ipotesi che il flusso all'interno della paletta sia incompressibile:

$$\dot{Q} \cong A_w h_g \left(T_{aw} - T_{wg} \right) \cong A_w k_w \frac{\left(T_{wg} - T_{wc} \right)}{t_w} \cong A_w h_c \left(T_{wc} - T_c \right)$$





29

Il coefficiente di scambio termico convettivo può essere trovato sotto forma di correlazioni teorico-sperimentali in termini dei numeri di Stanton e Nusselt:

$$Nu = \frac{hL}{k}$$
 $St = \frac{h}{\rho u c_p}$ $Nu = Nu(Re, Pr)$ $St = St(Re, Pr)$

Normalmente il primo è più adatto a moti interni mentre il secondo per moti esterni. È anche il caso di citare l'analogia di Reynolds:

$$St = \frac{c_f}{2}$$

Riprendendo la relazione precedente ed esprimendo h in termini di St.

$$\dot{Q} = A_w \rho_g u_g c_{pg} St_g (T_{aw} - T_{wg}) = A_w \rho_c u_c c_{pc} St_c (T_{wc} - T_e)$$

Introducendo $\sigma_c = A_w/A_c$ e la solidità $\sigma = c/s$ si ha:

$$A_g \cong sh$$
 $A_w \cong 2ch$ \rightarrow $A_g \cong A_w sh/2ch \cong A_w/2\sigma$

$$\dot{Q} = 2\sigma A_g \rho_g u_g c_{pg} St_g (T_{aw} - T_{wg}) = \sigma_c A_c \rho_c u_c c_{pc} St_c (T_{wc} - T_c)$$



Propulsione Aerospaziale – PA8 Turb - astarita@unina.it

31

Raffreddamento delle Turbine

Esprimendo le velocità in termini della portata si ha:

$$\dot{Q} \cong 2\sigma \dot{m}_g c_{pg} St_g (T_{aw} - T_{wg}) \cong \sigma_c \dot{m}_c c_{pc} St_c (T_{wc} - T_c)$$

e si può calcolare la frazione di portata di refrigerante:

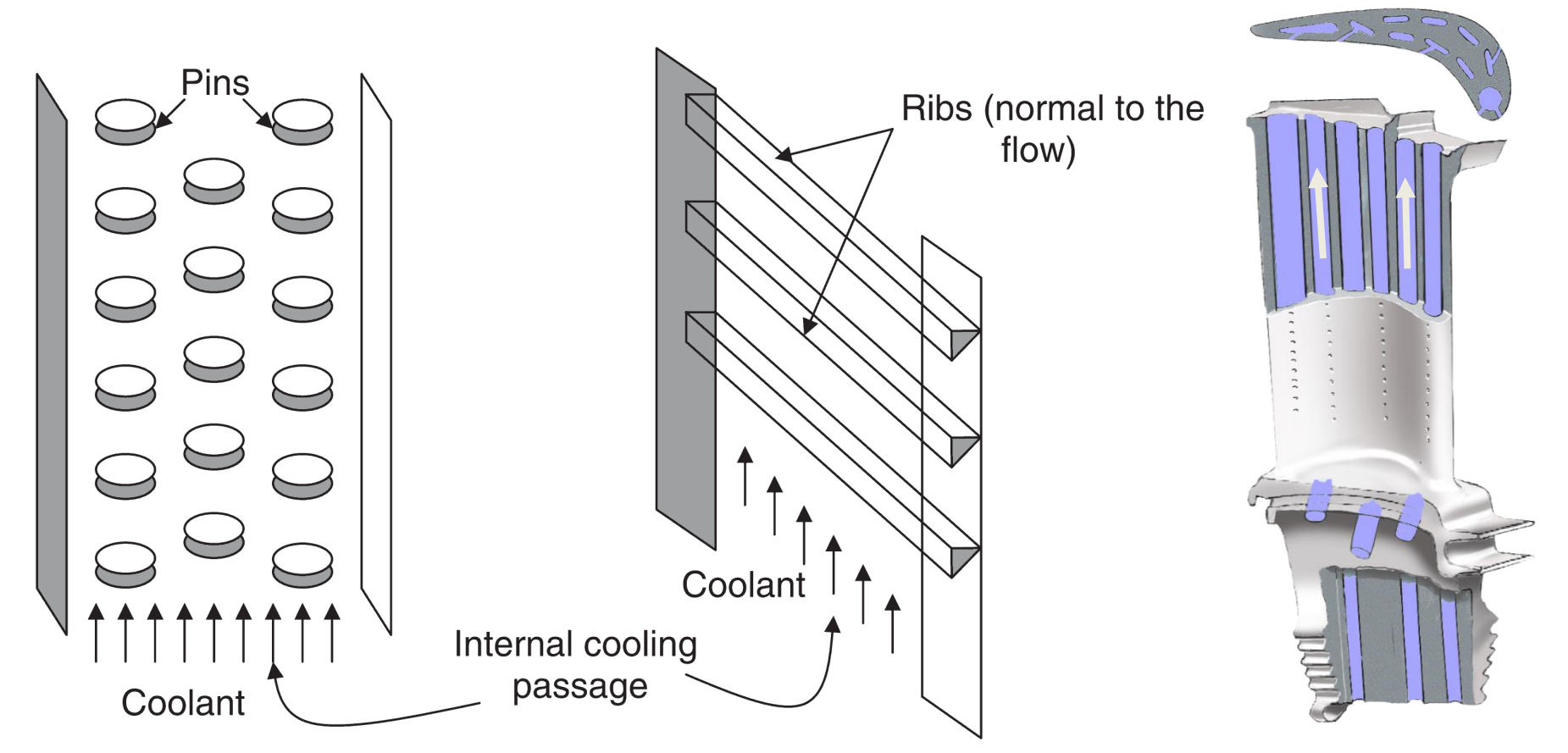
$$\epsilon \cong \frac{\dot{m}_c}{\dot{m}_g} = \frac{2\sigma}{\sigma_c} \frac{c_{pg}}{c_{pc}} \frac{St_g}{St_c} \frac{T_{aw} - T_{wg}}{T_{wc} - T_c}$$

ricordando che: $\dot{Q} \cong A_w k_w \frac{(T_{wg} - T_{wc})}{t_w}$ si ha:

$$T_{wc} = T_{wg} - \frac{t_w}{k_w} \frac{\dot{Q}}{A_w} = T_{wg} - \frac{t_w}{k_w} \rho_g u_g c_{pg} St_g (T_{aw} - T_{wg})$$

$$T_{wc} = T_{wg} - \frac{t_w}{k_w} \frac{m_g}{A_g} c_{pg} St_g (T_{aw} - T_{wg})$$

Per ridurre la T_{wg} si dovrebbe cercare di ridurre il coefficiente di scambio termico convettivo all'esterno della paletta ma questo non è possibile. Tuttavia è possibile aumentare quello dei canali interni con l'utilizzo di turbolatori (pins o ribs).



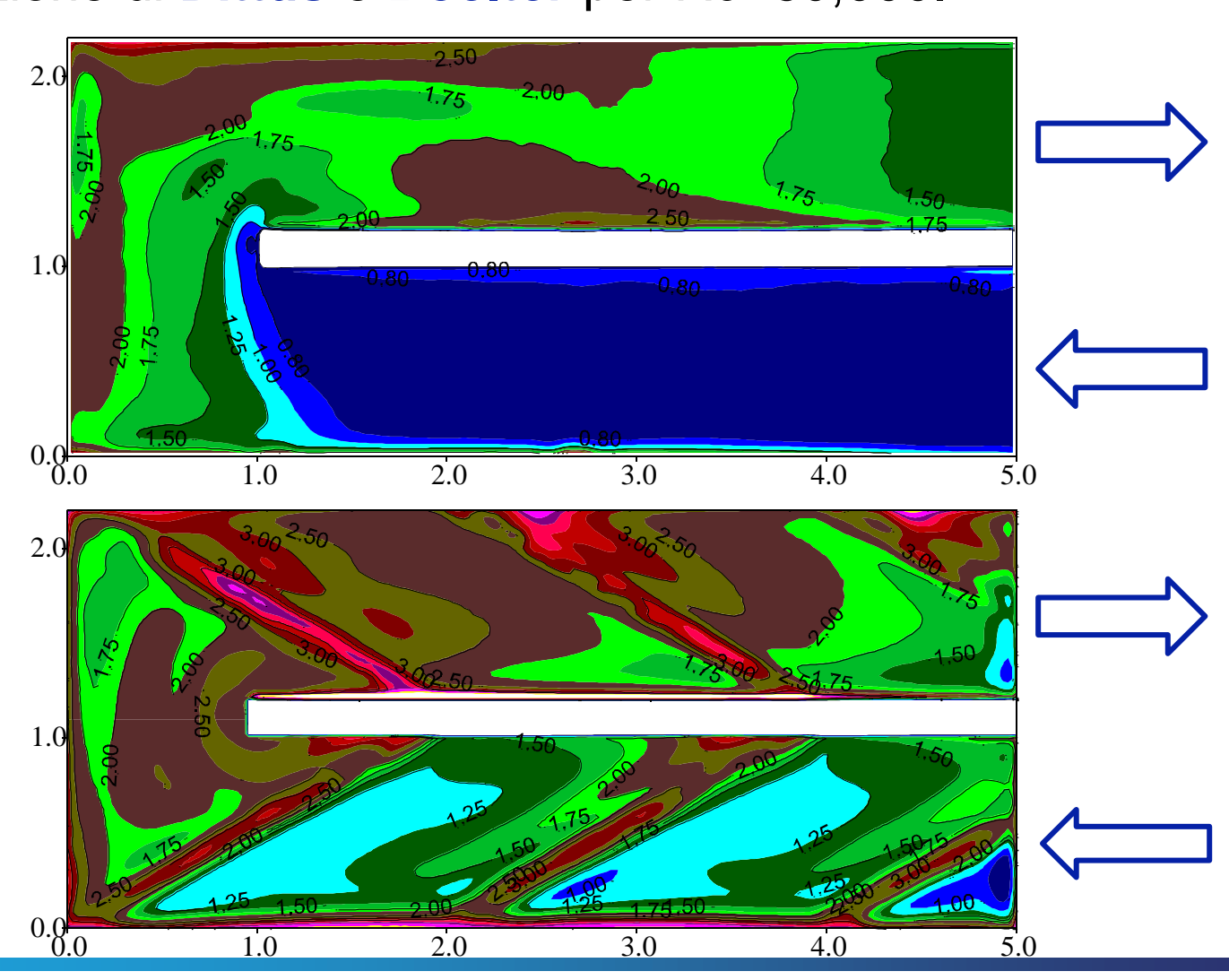


Propulsione Aerospaziale – PA8 Turb - astarita@unina.it

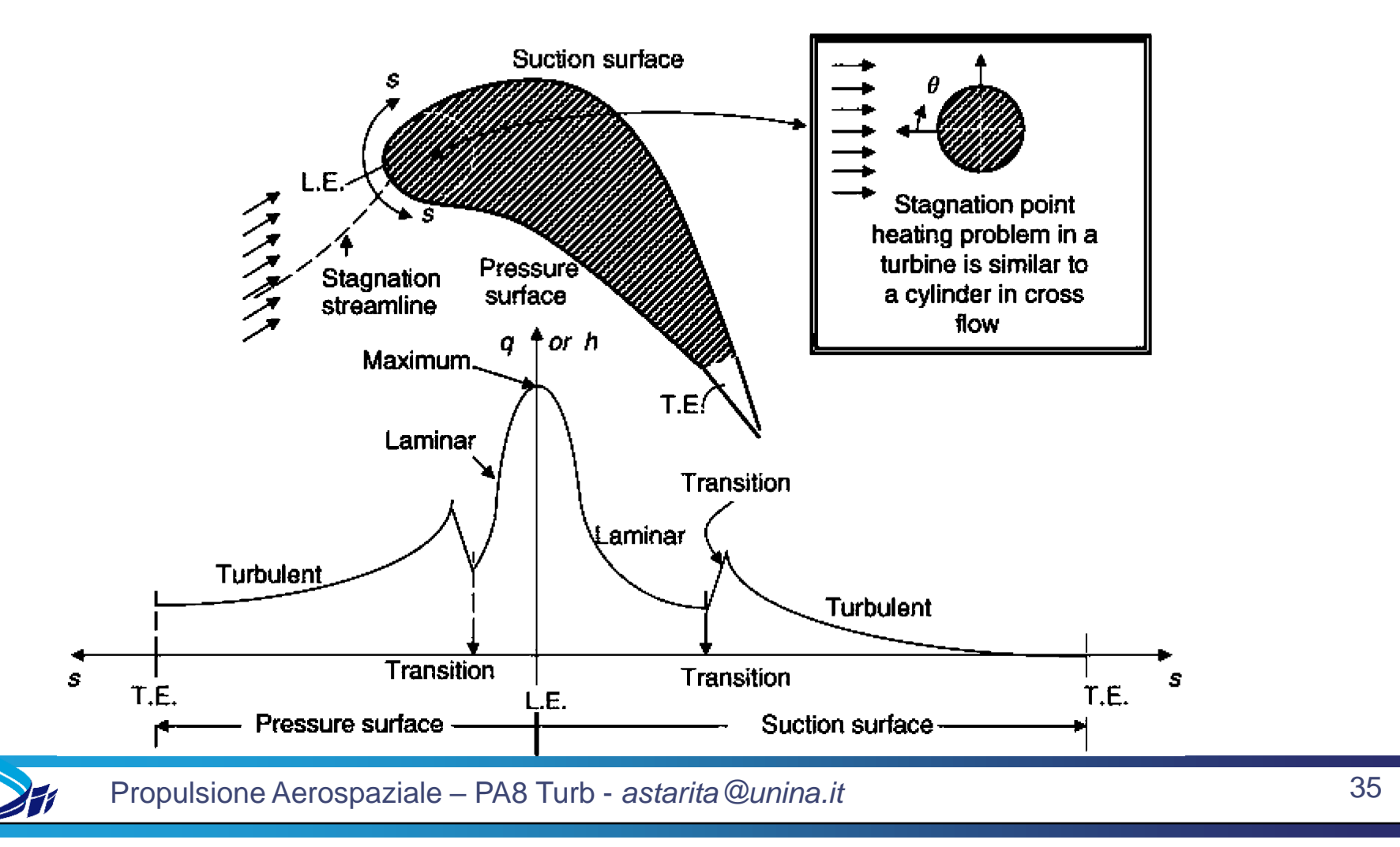
33

Raffreddamento delle Turbine

In figura sono mostrate le mappe del numero di Nusselt normalizzato con la correlazione di **Dittus** e **Boelter** per *Re*=60,000.



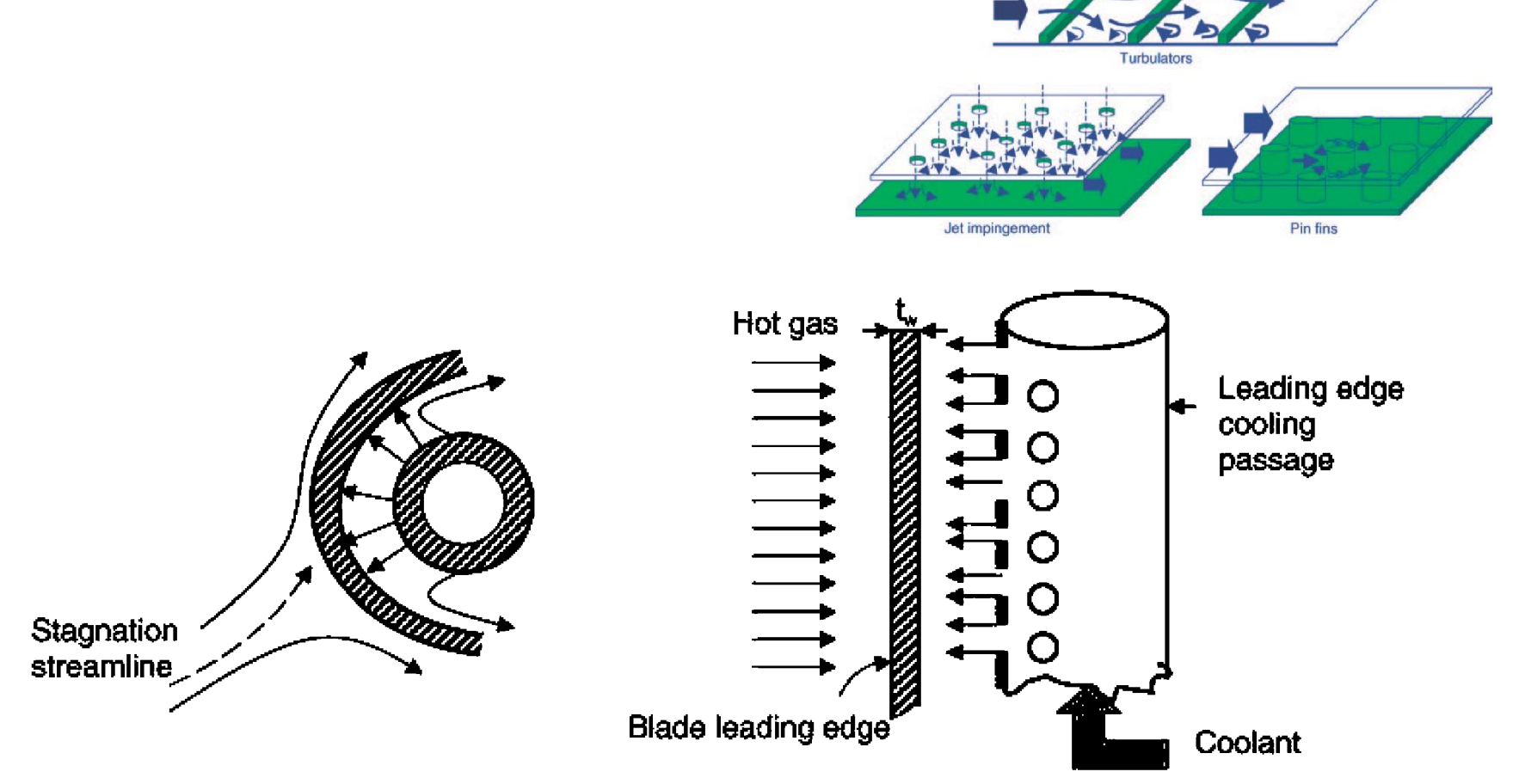
Come si vede dalla figura il flusso termico convettivo è massimo al bordo di attacco e, in prima approssimazione, può essere ricavata con correlazioni relative a cilindri in cross flow.



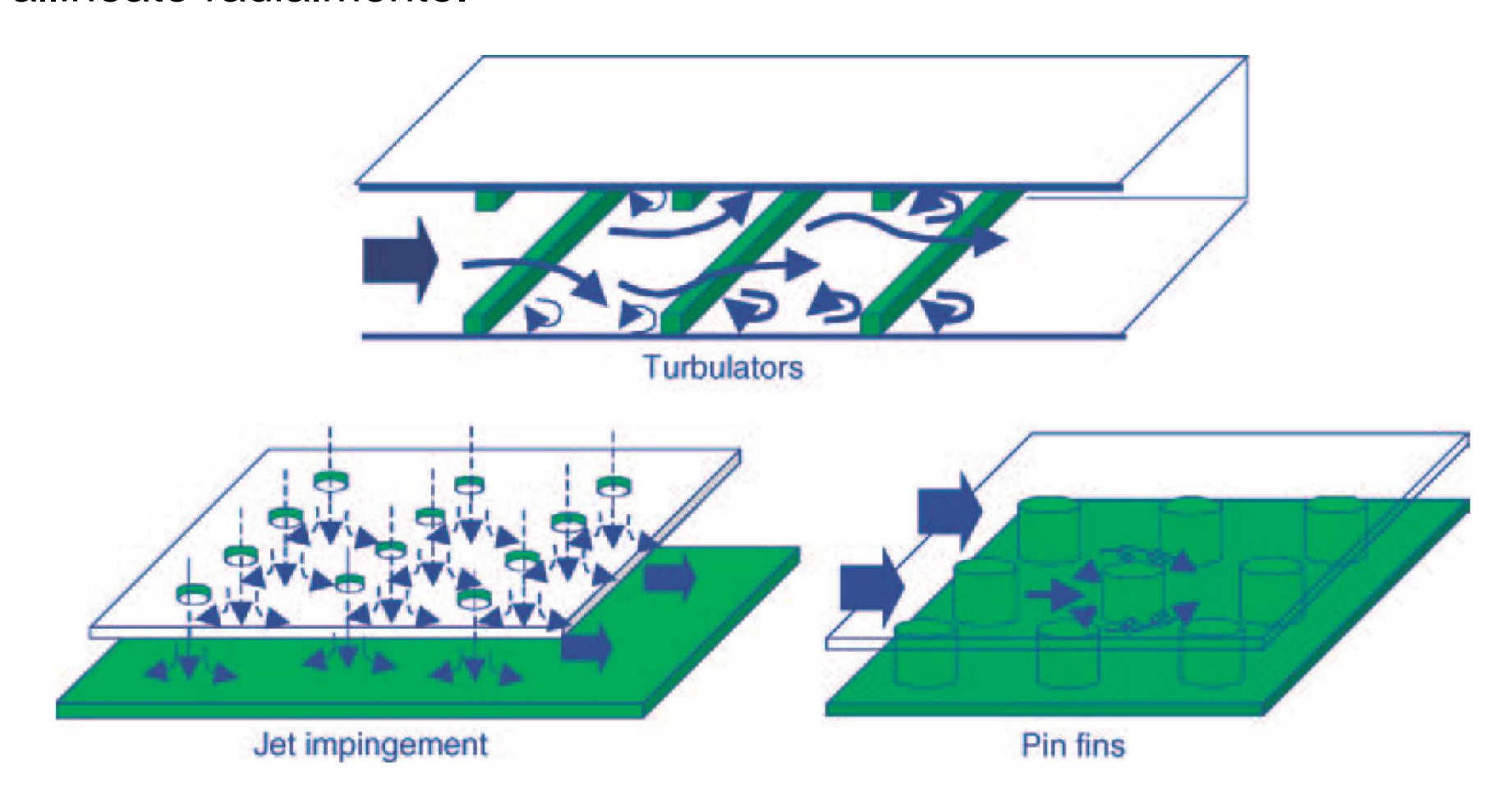
Raffreddamento delle Turbine

Per aumentare lo scambio termico convettivo interno si possono usare dei **getti impingenti**. I getti spesso sono generati da fori in un condotto

allineato radialmente.



Per aumentare lo scambio termico convettivo interno si possono usare dei **getti impingenti**. I getti spesso sono generati da fori in un condotto allineato radialmente.





Propulsione Aerospaziale – PA8 Turb - astarita@unina.it

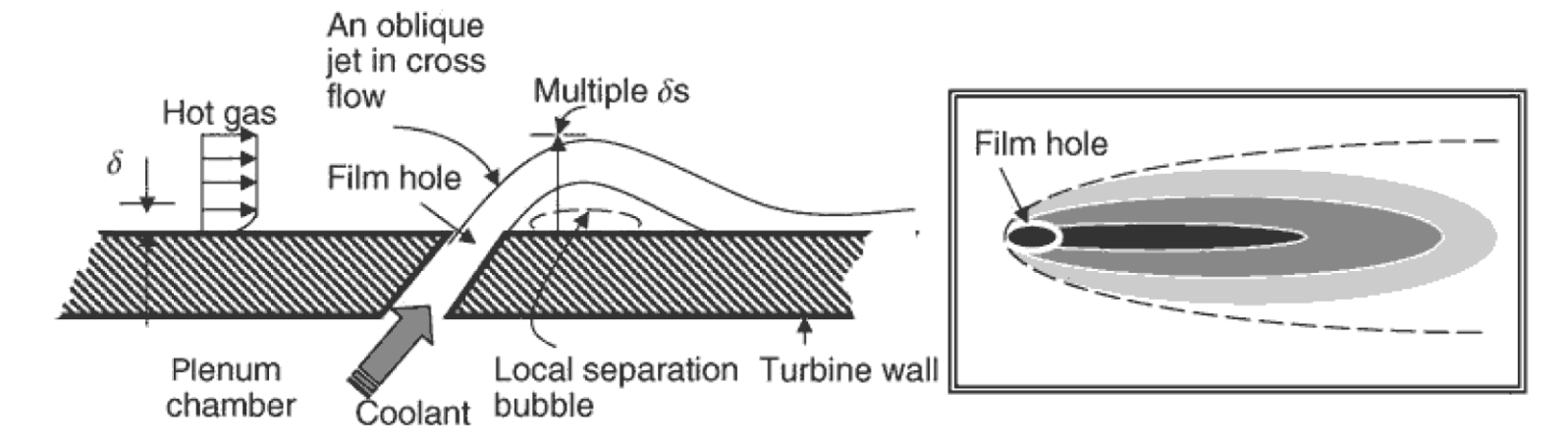
37

Raffreddamento delle Turbine

Per aumentare lo scambio termico convettivo interno si possono usare dei **getti impingenti**. I getti spesso sono generati da fori in un condotto allineato radialmente.

In alternativa si può usare il raffreddamento con film freddo (film cooling).

I getti vengono deflessi dal flusso principale ed incrementano localmente lo scambio termico convettivo aumentando, però, anche la resistenza della paletta.

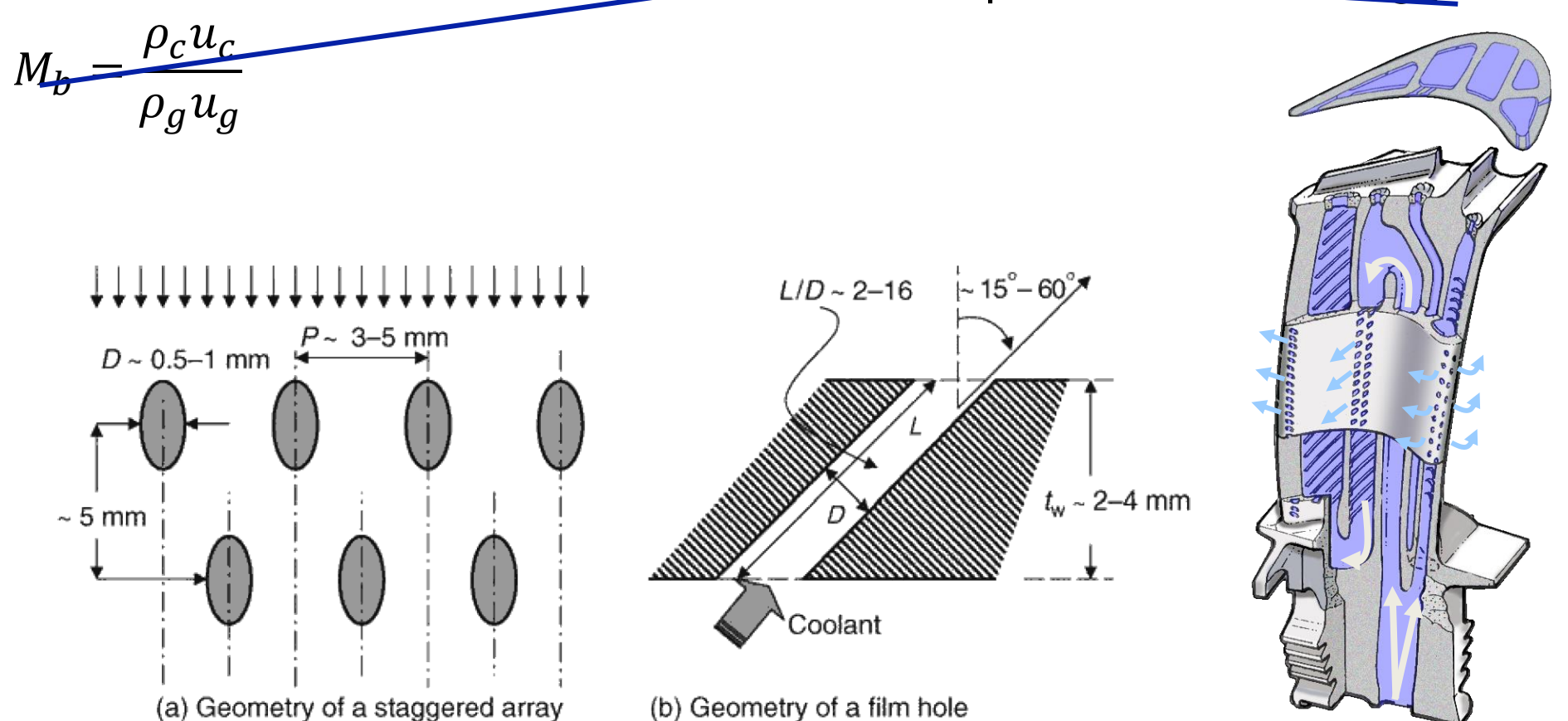


(a) Side view of a film hole used in film cooling

(b) Top view of the same film hole the contours are for constant heat flux

Per aumentare l'uniformità si possono usare più fori anche posti in una configurazione alternata.

Le correlazioni che permettono di valutare il coefficiente di scambio termico convettivo devono includere anche il parametro di soffiaggio:





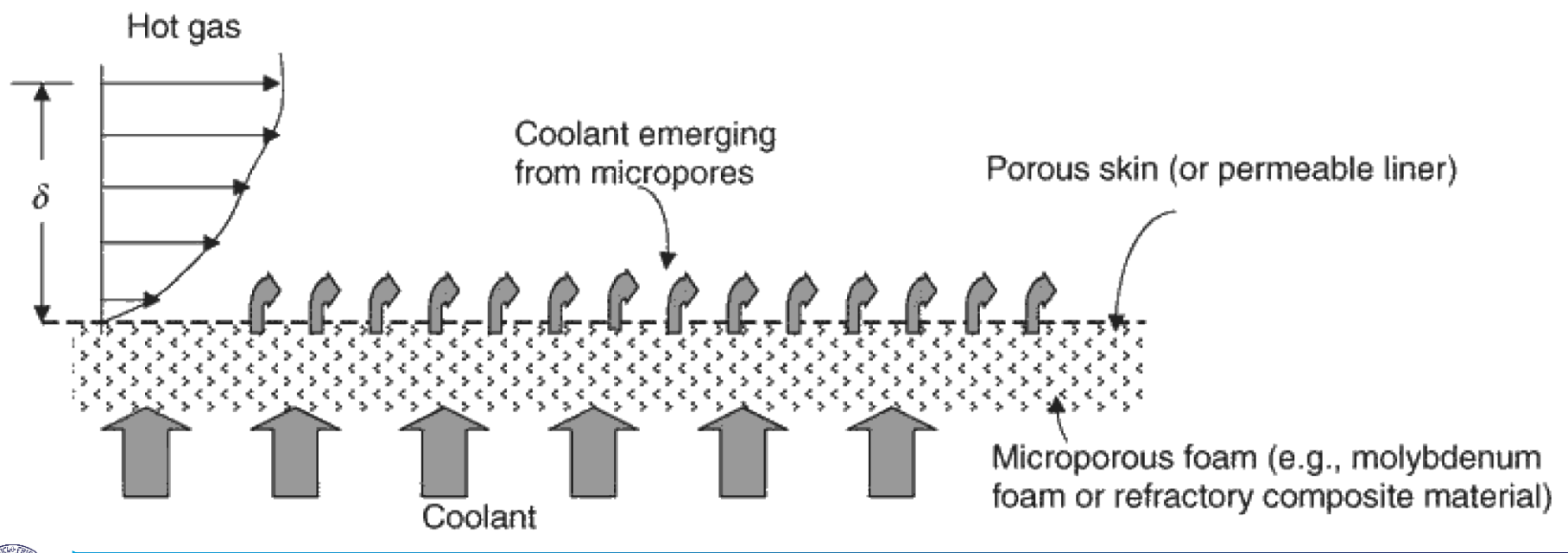
Propulsione Aerospaziale – PA8 Turb - astarita@unina.it

30

Raffreddamento delle Turbine

Un ulteriore aumento dello scambio termico convettivo si ottiene con il raffreddamento per traspirazione.

In questo caso l'efficienza cresce molto. Tuttavia è difficile evitare che i minuscoli fori si **ostruiscano**.



Anche le prestazioni di una turbina sono espresse in **termini di mappe**. In questo caso i due parametri principali sono i numeri di Mach assiale (proporzionale alla portata) e tangenziale (proporzionale alla velocità angolare).

Per evitare di perdere informazioni quando il flusso è vicino allo strozzamento si utilizza una versione "espansa del diagramma".

